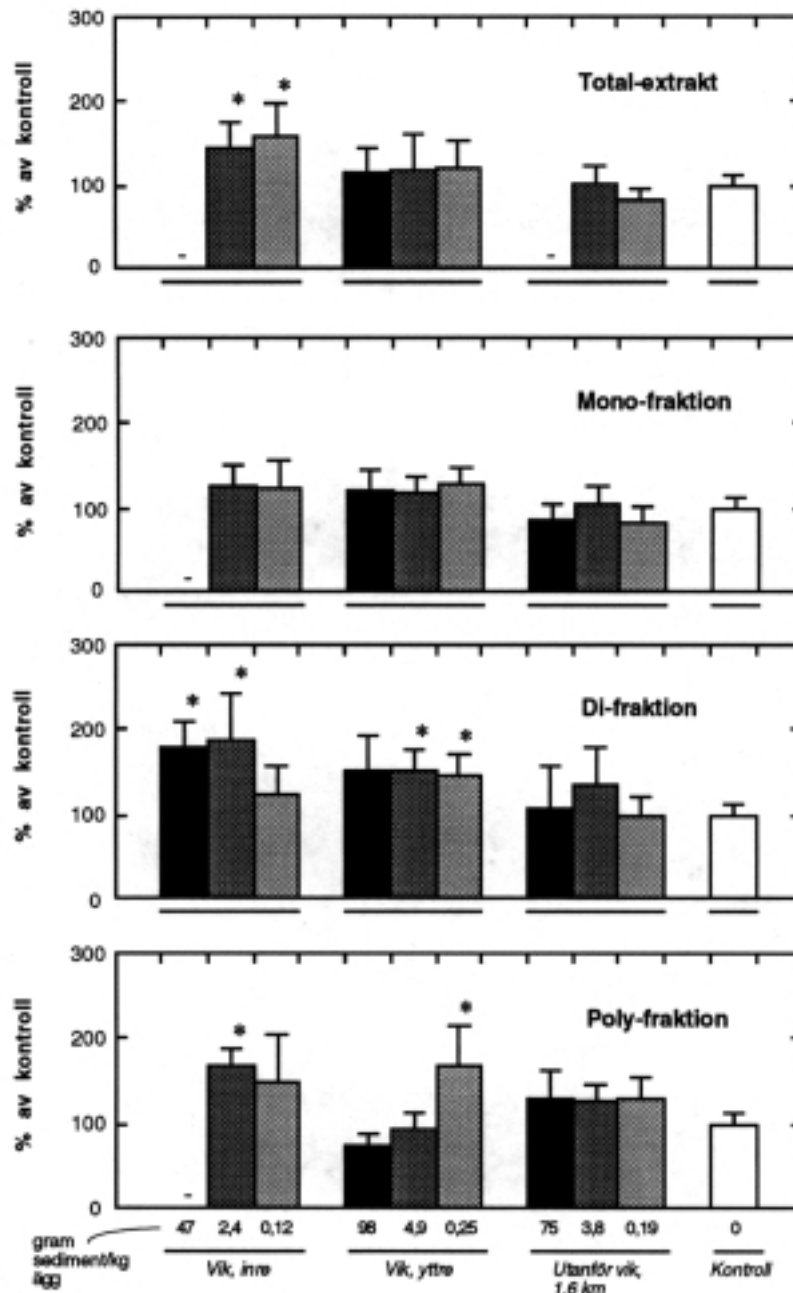
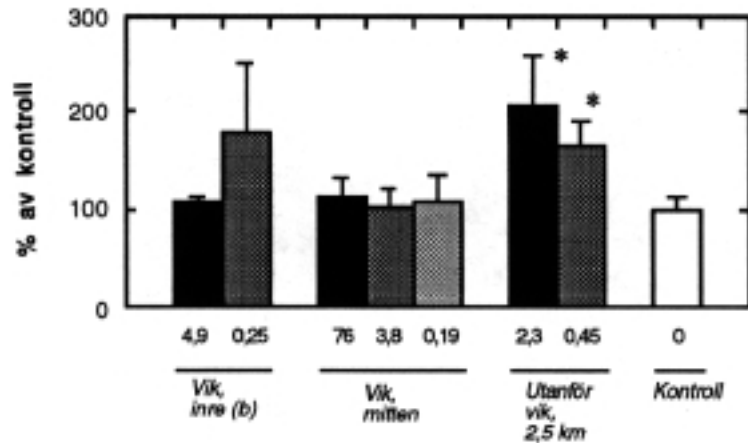


### Katalas aktivitet i regnbågslever exponerade för extrakt från sediment prover



**Figur T15.** Katalas aktivitet i levern hos regnbågs-larver injicerade på nybefruktat äggstadium i gulesäcken med ett toluen total extrakt som har passerat en Si-pelare (Total-extrakt) från sedimentprover, samt fraktioner därav såsom alifat/monoaromat (Mono), diaromat (Di) [innehållande PCB] samt polyaromat (Poly), presenterat som procent av kontroll larvernas aktivitet. Graferna anger medelvärde och ett 95 %-igt konfidensintervall. \* signifikant ökning ( $P < 0.05$ ) jämfört med kontroll uträknat mha t-fördelning. - ej analyserat.

## Katalas aktivitet i regnbågslever exponerade för extrakt från sedimentprover



Figur T16. Katalas aktivitet i levern hos regnbågsfiskar injicerade på nybefruktat ägg-stadie i gulesäcken med ett toluen total extrakt som har passerat en Si-pelare (Total) från sediment tagna i områden kompletterande stationerna i Figur T 15 presenterat som procent av kontroll larvernas aktivitet. Vik inre (b) står för ett område i den yttre delen av den inre viken. Grafen anger medelvärden och ett 95 %-igt konfidensintervall. \* signifikant ökning ( $P < 0.05$ ) jämfört med kontroll uträknat mha t-fördelning.

Som sammanfattning av analyserna av katalas i levern hos regnbågsfiskarna kan skrivas att flera matriser i Örserumsviken uppvisar substanser/substansblandningar med en förmåga att påverka katalas aktiviteten. Dock, dessa ämnen verkar att vara kopplade till deponin, sedimentationsbassängen och till sedimenten i området. Eftersom inga katalas aktivitets påverkande extrakt kunde återfinnas i vare sig sestionproverna eller från SPMD proverna kan eventuellt antagas att dessa katalas påverkande ämnen uppvisar en begränsad rörlighet i området. Dock, dessa resultat är mycket svårtolkade och förklaras troligtvis "enklast" med antagandet av relativt komplicerade och kopplade metaboliska mekanismer för syretoxicitet i cellerna, inkluderande förekomst av konkurrerande system samt förekomst av tröskeleffekter.

## 6.4 DISKUSSION

Sammanfattningsvis, båda de enzymatiska aktiviteterna analyserade i dessa studier är indikativa på bildandet av reaktiva intermediärer i cellerna med en förhöjd risk för biologiska skador på cellstrukturer såsom proteiner, lipider samt det genetiska materialet, RNA och DNA. Även en hämning av EROD aktiviteten utgör indikationer på allvarliga biologiska störningar såsom för metabolismen av vissa hormoner. Flera extrakt och fraktioner därav har visat på tydliga statistiskt säkerställda biologiska störningar på de undersökta enzymsystemen. För EROD erhöles tydliga dos-respons samband samt tydliga gradienter från de kontaminerade områdena i de inre delarna av Örserumsviken. Förutom dessa subcellulära störningar uppvisade extrakten från de inre delarna av Örserumsviken även kraftiga toxiska störningar i form av ökad mortalitet och ökad frekvens av olika utvecklingskador hos de exponerade regnbågarna.

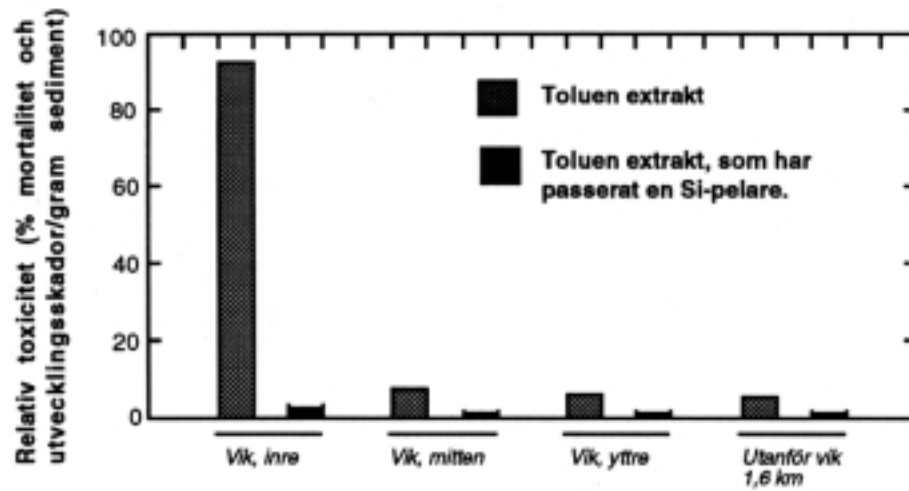
Deponin och sedimentområdena har under många år varit kontaminerade och, som exempel kan, fungicid och/eller bakteriell biotransformation av de kontaminerande PCBerna ha resulterat i ett antal "nya" klorerade kolväten med okänd biologisk effekt. Vidare när det gäller EROD induktionen så är det välkänt att olika kongener har stora olikheter i förmåga att framkalla induktion och, vidare, att vid relativt hög exponering kan hämning uppträda i motsats till induktion. Dock, dessa undersökningar har visat att hämmande substanser sannolikt ej enbart kan härledas till PCBer i området.

Det är rimligt att antaga att innehållet i dessa undersökta extrakt till stora delar är okänt med avseende på antropogent härörande biologiskt aktiva substanser, trots ovan beskrivna analysarbete och information angående analyser av PCBer och kvicksilver.

Vi kan inte med säkerhet antaga att extrakten alltid skall uppvisa en linjäritet angående ett dos-respons sammanhang. Vidare kan tröskel effekter med ett snävt dos-effekt omfång föreligga i en eller flera matriser som ytterligare försvårar tolkningar av de biologiska effekterna. Detta har troligtvis varit fallet framför allt för variabeln katalas aktiviteten i dessa undersökningar.

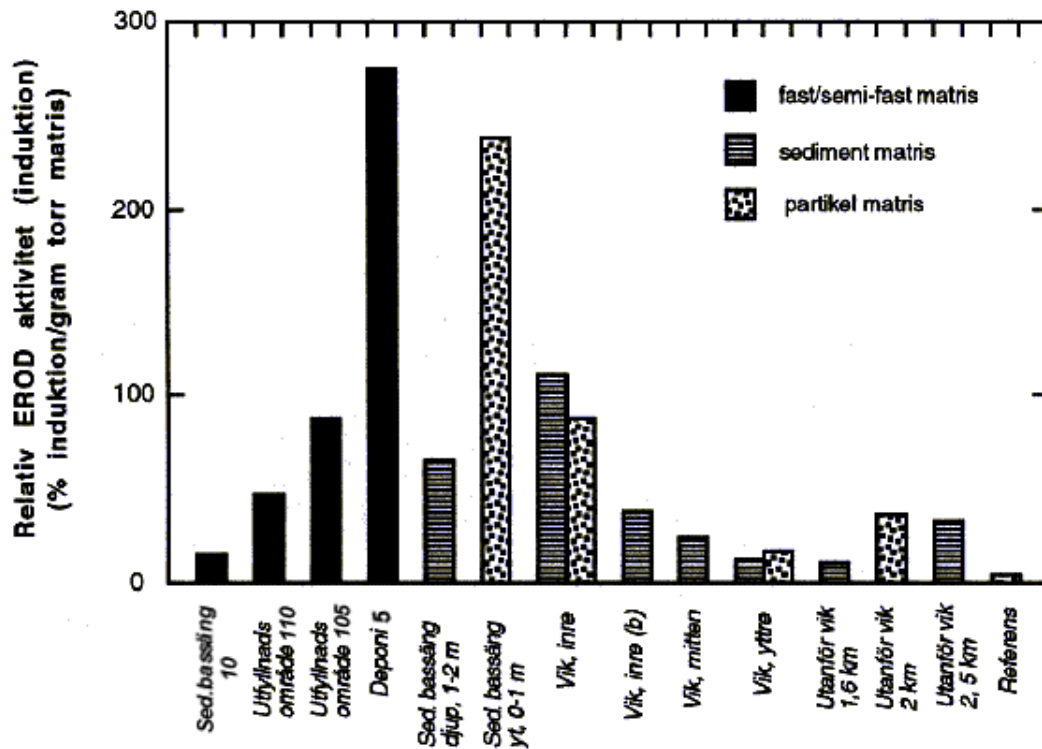
Semi-kvantitativa uppskattningar visar att en stor signifikant del av toxiciteten, mortalitet och utvecklingsskador, går "förlorad" när extrakten passerar en Si-pelare. Dessa resultat presenteras i Figur T17. I denna figur visas att mellan 74 och 97 % av toxiciteten går "förlorad". Denna effekt verkar mest uttalad i den inre viken i Örserum genom att toluen extraktet som ej har passerat en Si-pelare är hela 34 gånger giftigare, medan de andra stationernas motsvarande värde är cirka 4-8 gånger giftigare. Närvaro av kvicksilver i extrakten som ej har passerat en Si-pelare kan troligtvis inte ensamt förklara den högre toxiciteten.

Semi-kvantitativ jämförelse av toxiciteten hos bottensediment injicerat före eller efter passage av en Si-pelare



**Figur T17.** Mortalitet och utvecklingsskador hos nyckläckta regnbågs-larver injicerade med olika bottensediment extrakt, dels direkt ett toluen total extrakt och dels ett toluen total extrakt som har passerat en Si-pelare. Bottensedimenten (0-5 cm) var från olika delar av, och utanför, Örserumsviken. Resultaten presenteras som summan av mortalitet och utvecklingsskador normaliserade och extrapolerade till ett (1) gram injicerat torrt extrakt per kg ägg. Eftersom vi inte med säkerhet kan veta att data i samtliga fall är analyserade från den linjära delen av dos-respons kurvan (relevanta data från Figur T4) kan resultaten endast anses som semi-kvantitativa.

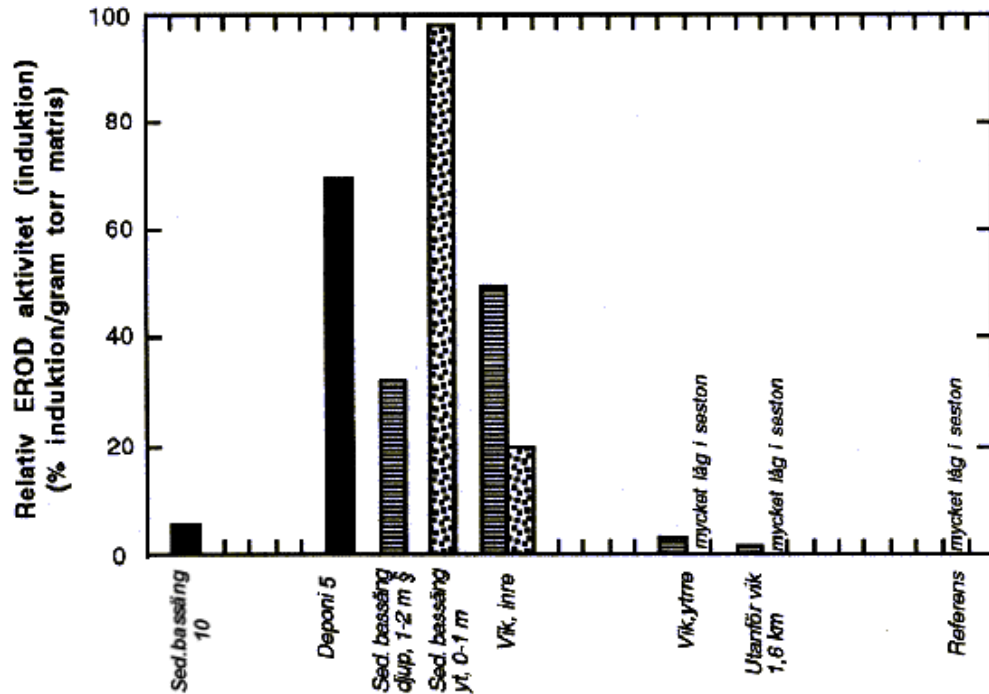
Semi-kvantitativ jämförelse av EROD induktion av Total-extrakten på olika stationer och matriser i Örserumsviks området och vid en långväga referens



**Figur T18.** EROD aktivitet i levern hos regnbågslarver injicerade med Total-extrakt (toluen extrakt som har passerat Si-pelare) från Örserumsviken och området däromkring. Resultaten presenteras som EROD aktivitet normaliserade och extrapolerade till ett (1) gram injicerat torrt extrakt per kg ägg. Eftersom vi inte i samtliga fall med säkerhet kan veta att data är analyserade från den linjära delen av dos-respons kurvan (relevanta data från Figur T5, T6, T7, T9 och T10) kan resultaten endast anses som semi-kvantitativa. Vik inre (b) står för ett område i den yttre delen av den inre viken. Värdet för utfyllnadsområde 105 kan utgöra en underskattning av det verkliga värdet (se Figur T5 ovan).

I Figur T18 redovisas en semi-kvantitativ jämförelse av förmågan att framkalla EROD induktion hos Total-extrakten från de olika matriserna i Örserumsviksområdet. En tydlig gradient från deponi 5 och sedimentationsbassängen yt 0-1 m, kan observeras i denna Figur. Gradienten kan observeras för både bottensediment och partikel fraktionen (seston). Vidare kan observeras den mycket, och eventuellt förväntade, likheten i relativ EROD induktion hos sediment och seston partiklar vid stationerna vik inre och vik yttre. Även stationen för seston utanför vik 2 km, och sedimentet utanför vik 2,5 km, verkar följas åt i relativ EROD induktion.

Semi-kvantitativ jämförelse av EROD induktion av Di-fraktionen på olika stationer och matriser i Örserumsviks området och vid en långväga referens

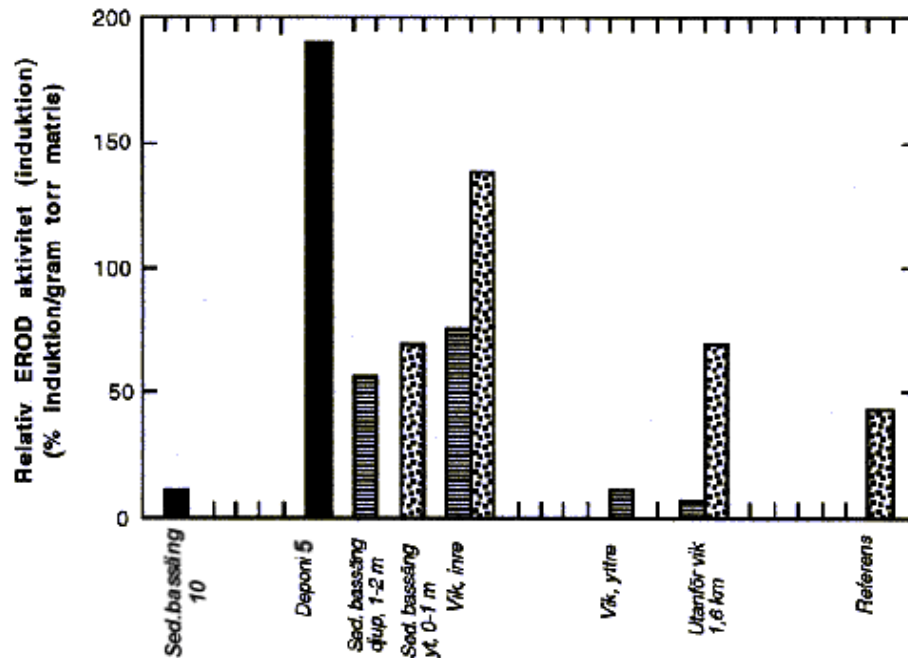


**Figur T19.** EROD aktivitet i levern hos regnbågslarver injicerade med Di-fraktionen av total extrakt (toluen extrakt som har passerat Si-pelare) från Örserumsviken och området däromkring. Resultaten presenteras som EROD aktivitet normaliserade och extrapolerade till ett (1) gram injicerat torrt extrakt per kg ägg. Eftersom vi inte i samtliga fall med säkerhet kan veta att data är insamlade från den linjära delen av dos-respons kurvan (relevanta data från Figur T6, T7, och T9) kan resultaten endast anses som semi-kvantitativa.

I Figur T 19 redovisas en semi-kvantitativ jämförelse av förmågan att framkalla EROD induktion hos Di-fraktionen från de olika matriserna i Örserumsviksområdet. Här kan observeras att gradienten är betydligt brantare än för den ovan redovisade Total-extraktet (Figur T18). Förklaringen till den brantare gradienten fås när Figur T20 studeras. I denna Figur redovisas en semi-kvantitativ jämförelse av förmågan att framkalla EROD induktion hos Poly-fraktionen från de olika matriserna i Örserumsviksområdet. Eftersom Poly-fraktionerna uppvisar en betydligt mindre brant gradient än den som erhöles för Di-fraktionerna så utgör summan av dessa gradienter resultatet som erhöles för Total-extraktet. (Mono-fraktionen uppvisade ju, som förväntat, inget signifikant bidrag till EROD induktionen i området.) Faktum är att i de allra flesta fall visar dessa semi-kvantitativa jämförelser en förvånansvärd bra överensstämmelse eftersom summan av Di-fraktionen och Poly-fraktionen resulterar i den relativa EROD inducerande förmågan som presenteras i Figur T18, dvs för Total-extraktet. Det som ytterligare kan utläsas ur dessa grafer är, dels att Di-fraktionen (inkluderande "parent" PCBs) utgör mindre än hälften av den inducerande potensen och, dels att den mer potenta Poly-fraktionen uppvisar en kraftigare spridning från de inre delarna av Örserumsviken.

För bedömningen av Poly-fraktionens bidrag till området utanför Örserumsviken skall det understrykas att referens lokalen som har nyttjats i dessa undersökningar ej kan betraktas som en säker ej kontaminerad bakgrunds lokal.

## Semi-kvantitativ jämförelse av EROD induktion av Polyfraktionen på olika stationer och matriser i Örserumsviks området och vid en långväga referens



**Figur T20.** EROD aktivitet i levern hos regnbågsfärdlarver injicerade med Poly-fraktionen av total extrakt (toluen extrakt som har passerat Si-pelare) från Örserumsviken och området däromkring. Resultaten presenteras som EROD aktivitet normaliserade och extrapolerade till ett (1) gram injicerat torrt extrakt per kg ägg. Eftersom vi inte i samtliga fall med säkerhet kan veta att data är insamlade från den linjära delen av dos-respons kurvan (relevanta data från Figur T6, T7, och T9) kan resultaten endast anses som semi-kvantitativa.

## 7 Hälsospekter

### 7.1 Luft

Koncentrationen av PCB i luften ovan deponin låg under mätperioden på  $3 \text{ ng m}^{-3}$ . Ur ett hälsoperspektiv är denna nivå relativt sett mycket låg. Det svenska gränsvärdet för arbetsmiljö ligger över 3 000 ggr högre (nivågränsvärde  $10 \mu\text{g m}^{-3}$ , AFS 1993:9). Även jämfört med ett riktvärde för kontinuerlig exponering under dygnet på  $350 \text{ ng m}^{-3}$  (se Hammar, 1992) är koncentrationen ovan deponin låg.

### 7.2 Mark

Riktvärdet för "mindre känslig markanvändning" är 7 ppm (Naturvårdsverket, 1996). Begreppet innebär att markanvändningen begränsas p g a föroreningsgraden. Koncentrationen av PCB i den översta metern av sedimentationsbassängen är mer än 10 ggr så hög (74 ppm). Även koncentrationen av Hg i sedimentationsbassängens översta meter är högre än riktvärdet för "mindre känslig markanvändning". Riktvärdet är 7 ppm medan den funna koncentrationen var 27 ppm.

Koncentrationerna av PCB och Hg var högre än riktvärdena också i deponin. 4 ggr högre för PCB och 2 ggr högre för Hg. De kontaminerade sedimenten i deponin är inte täckta vilket innebär risk för att människor kommer direkt kontakt med föroreningarna. Riktvärdet för

hudkontakt med PCB är 11 ppm vid mindre känslig markanvändning, d. v. s. ett område där direkt kontakt med marken har minimerats p g a föroreningsgraden. Detta värde överskrids vid både sedimentationsbassängen och deponin.

I utfyllnadsområdena ligger koncentrationerna av både PCB och Hg under riktvärdena för mindre känslig markanvändning. För Hg även under riktvärdet för "känslig markanvändning". Området har dock idag nyttjandeförbud men kan framledes vara intressant som industritomt eller marina men p. g. a. av markens heterogenitet är det inte otänkbart att det finns "hot spots" som kan försvåra en sådan exploatering.

### 7.3 Dricksvatten

Grundvattenrörelsen i området är sådana att grundvattnet efter att ha kommit i kontakt med den förorenade marken i utfyllnadsområdet, deponin och sedimentationsbassängen rör sig mot i riktning mot viken. Det är således mycket liten risk att närliggande grundvattentäkter drabbas av förhöjda halter av PCB eller Hg till följd av föroreningen av marken kring Örserumsviken. För att få en uppfattning av graden av allvarighet med denna kontamination kan som jämförelse ges att halter för dricksvattenframställning i Paris har uppmätts till 500 ng L<sup>-1</sup> (Chevreuil et al., 1990). Den högsta koncentrationen av löst PCB i grundvatten återfanns i GV 106 och var 96 ng L<sup>-1</sup>.

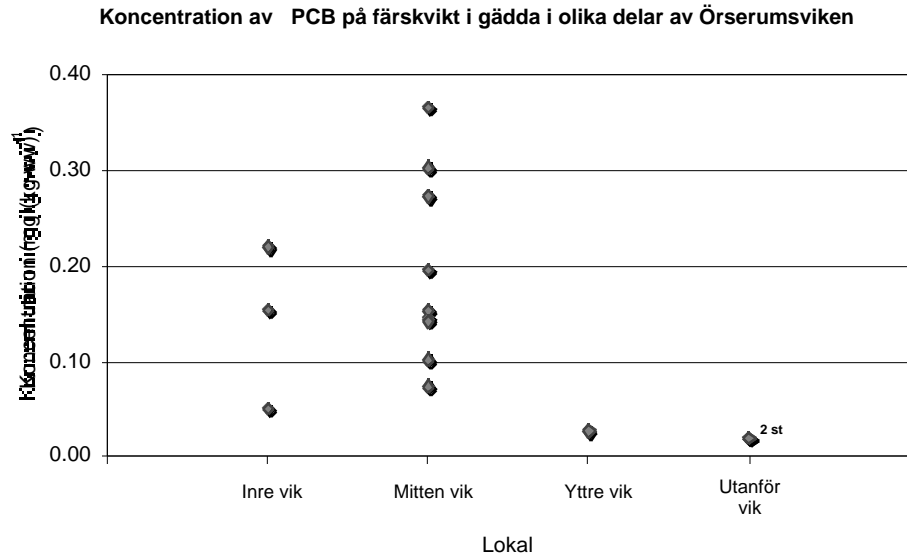
### 7.4 Föda – koncentration av PCB och Hg i gäddor

I denna studie ingick kemiska analyser av 15 gäddor. Ett stycke ryggmuskulatur togs ut och analyserades med avseende på kolinnehåll, lipidinnehåll, PCB och kvicksilver.

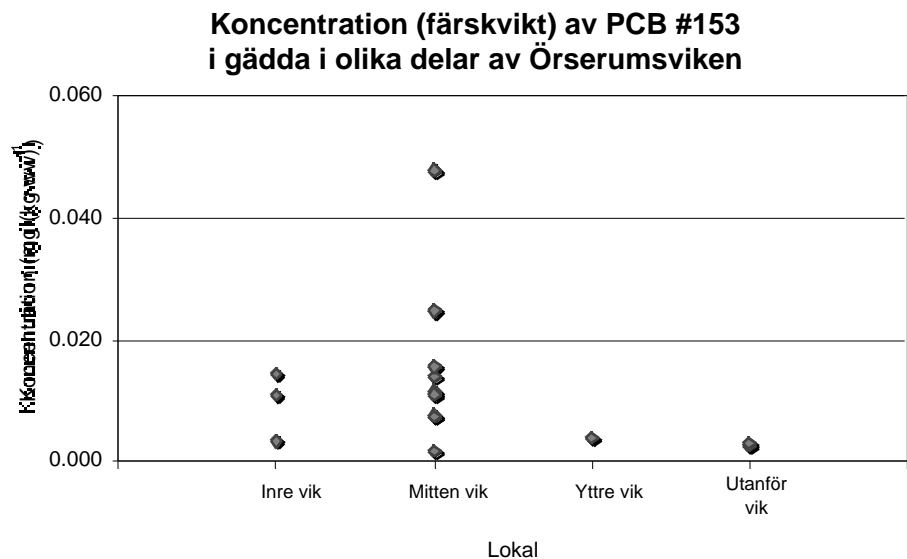
#### 7.4.1 PCB

Tidigare undersökningar har visat att koncentrationen på färskvikt (ww) av PCB i gädda fångad inne i Örserumsviken har legat 0.09-1.8 mg kg<sup>-1</sup> (1987), samt 0.43 och 0.97 mg kg<sup>-1</sup> (1993). I denna studie låg koncentrationerna på 0.02-0.36 mg kg<sup>-1</sup> (ww) vilket är något lägre än de tidigare studierna. Skillnaden är dock så liten att den skulle kunna bero på olika analys- resp. redovisningsmetoder. Koncentrationen av PCB i gädda inne i viken tycks ej ha förändrats det senaste decenniet. Utanför viken var 1987 koncentration PCB 0.20-0.37 mg kg<sup>-1</sup> (ww) vilket är att jämföra med 0.02 mg kg<sup>-1</sup>. Även om dessa värden antyder att en miskning har skett så var antalet gäddor som kunde fångas utanför viken så litet (2 st) att det är vanskligt att dra några bestämda slutsatser om detta med tanke på den stora variation som analyser av gädda ger (se spridningen bland gäddor fångade i mitten av viken).





**Figur 7.1** Koncentrationen av PCB baserad på färskvikt i gäddor fångade i olika delar av viken samt området utanför viken (innanför Korpaholmarna). Se figur A2, Appendix A.



**Figur 7.2** Koncentration av PCB #153, baserad på färskvikt, i gäddor fångade i olika delar av viken samt området utanför viken (innanför Korpaholmarna).

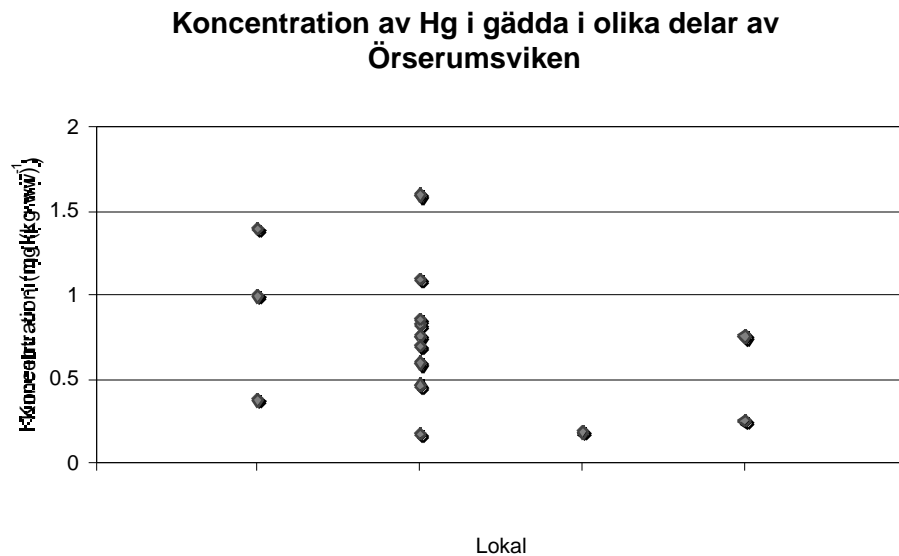
Det gränsvärde som är uppsatt av Livsmedelsverket för fisk ligger på  $0.1 \text{ mg kg}^{-1}$  av PCB #153. Detta riktvärde baserar sig på koncentrationen på en enda PCB kongener som används som "indikator"-substans. Den använda analysmetoden skiljer sig från livsmedelsverkets metod och ger ett något överskattat värde på koncentrationen av PCB #153 (Niimi et al., 1996). Koncentrationen PCB #153 (ww) låg mellan  $0.002$  och  $0.05 \text{ mg kg}^{-1}$  med ett medelvärde på  $0.012$  (Figur 7.2), vilket är väsentligt lägre än livsmedelsverkets gränsvärde på  $0.1 \text{ mg kg}^{-1}$ .

Koncentrationen av plana PCB låg på  $0.03$ - $0.90$  (medel  $0.44$ )  $\mu\text{g kg}^{-1}$  (ww).

### 7.4.2 Kvicksilver

Tidigare undersökningar av metylkvicksilver i Örserumsvikens gäddor visade på halter mellan 0.15 och 0.95 mg kg<sup>-1</sup> (1979). I denna studie analyserades 5 st gäddor med avseende på metylkvicksilver bland vilka koncentrationerna låg mellan 0.26 och 0.90 mg kg<sup>-1</sup> (medelvärde 0.70). Det tycks alltså inte ha skett någon större förändring sedan 1979 vad gäller kvicksilver.

Samtliga gäddor analyserades med avseende på totalkvicksilver vilket ger en bättre bild av inverkan av fångstplats på fördelningen av kvicksilver i fisk. Figur 7.3 visar att koncentrationen av Hg i gäddor inte skiljer mellan olika lokaler, vilket var förväntat eftersom koncentrationsskillnaderna mellan områdena i och utanför viken vad gäller vatten och sediment inte var särskilt stora för kvicksilver.



*Figur 7.3 Koncentrationen av totalkvicksilver i gäddor fångade i olika delar viken samt utanför viken.*

## 8 Framtida utveckling av området

### 8.1 Deponi, sedimentationsbassäng

Läckaget av PCB är stort från deponi och sedimentationsbassängen. Eftersom omblandningen dessa matriser är mycket liten så kan på sikt koncentrationsgradienter byggas upp, d. v. s. att ytlagren töms på PCB och läckaget bromsas upp. I deponin drivs dock läckaget genom rörelser av luft i marken vilket innebär att mer djupliggande lager har möjlighet att fylla på ytlagren. Det krävs bara att material några decimeter ned aktivt deltar i läckaget för att detta skall försätta oförändrat i decennier framåt. En mer noggrann analys av eventuella koncentrationsgradienter i djupled krävs dock som underlag för att kunna modellera den framtida utvecklingen. Materialet i sedimentationsbassängen är mättat med vatten. Där drivs flödet av att evaporation transporterar vatten uppåt i materialet. Även i detta material krävs det att material endast några decimeter ned läcker för att flödet skall vara i praktiken oförändrat. Vad gäller deponin kan långsam förändring (finfördelning och sprickbildning) göra att flödet kan öka i framtiden.

På grund av materialets dåliga bärighet har deponin sedan den lagts upp flutit ut ner över sedimentationsbassängen. Det är möjligt att ytterligare sådana markrörelser kan ske i framtiden. En sådan process gör att nya delar av deponins material kan komma att exponeras

för atmosfären med ökat läckage av PCB och Hg som följd. Det framtida läckaget kan också påverkas av områdets användning. Om en ändrad användning t. ex. innebär schaktningsarbeten så kan det innebära att nytt material exponeras för atmosfären. Vad gäller själva viken kommer med stor sannolikhet en eventuell ökad båttrafik leda till ökad resuspension av sediment vilket i sin tur leder till ökad avgång av PCB och Hg såvida inte åtgärder för att begränsa resuspension vidtas.

## 8.2 Viken

Koncentrationen av PCB i sedimenten inne i viken är fortfarande mycket hög. Den stora omsättningen av vatten i viken ger uppenbarligen en mycket stor omsättning av partiklar i vertikalled (resuspension). Detta får i sin tur till följd att ytsedimenten är väl omblandade. Eftersom det sedan de första PCB-analyserna inte har skett (1986) någon dramatiskt nedgång av PCB-koncentrationen kan det antas att läckaget kommer att fortsätta och endast långsamt minska.

## 9 Erkännanden

Författarna vill tacka Maria Blomberg och Erik Noaksson för värdefull hjälp under dessa studier angående de toxikologiska undersökningarna. Tack också till Christer Ramström, Västerviks Kommun för hjälp under den intensiva provtagningsperioden i slutet av sommaren 1996, samt för ihärdigt insamlande av partiklar/POC under resten av året.

Tack också till de som arbetat med kemiska analyser på Akvatisk Kemisk Ekotoxikologi, Zoologiska Institutionen: Sven Burreau, Cecilia Bandh, Bodil Gustafsson, Hanna Gustafsson, Rasha Ishaq, Leif Olofsson, Harald Pettersen.

## 10 Referenser

Ahlborg, U.G., Becking, G.C., Birnbaum, L.S., Brouwer, A., Derks, H.J.G.M., Feeley, M., Golor, G., Hanberg, A., Larsen, J.C., Liem, A.K.D., Safe, S.H., Schlatter, C., Waern, F., Younes, M. och Yrjänheikki, E. **1994** "Toxic equivalency factors for dioxin-like PCBs" *Chemosphere* **28**:1049-1067

Ambjörn, C., Johansson, L. och Svensson, J. **1997** "Värdering av vattenomsättningen i Örserumsviken" SMHI, Oceanografiska laboratoriet, Byggnad 31 Nya Varvet, Västra Frölunda

Axelman, J., Broman, D. och Näf, C. **1996** "Field measurements of PCB partitioning between water and planktonic organisms: Influence of Growth, Particle Size, and Solute-solvent interactions" *Environ. Sci. Technol.* **26**:665-669

Axelman, J. och Broman, D. 1998 "Budget calculations for polychlorinated biphenyls (PCBs) in the remote areas of the Northern Hemisphere" inskickat manuskript till *Tellus B*

Axelman, J., Näf, C., Bandh, C., Ishaq, R., Pettersen, H., Zebühr, Y. och Broman, D. **1998** "Dynamics and distribution of hydrophobic organic compounds in the Baltic Sea" I A systems analysis of the changing Baltic Sea, Redakt. Wulff, F., Larsson, P. och Rahm, L. *under redigering*

Bergmeyer, H. U. **1955** "Zur messung von Katalase-aktivitäten" *Biochemische Zeitschrift* **327**:255-258

Chen, H.-W. **1993** "Fluxes of organic pollutants from the sediments in the Boston Harbour" Masters thesis, Massachusetts Institute of Technology

Chevreuil, M., Granier, L., Chesterikhoff, A. och Létolle, R. **1990** "Polychlorinated biphenyls partitioning in waters from river, filtration plant and wastewater plant: The case for Paris (France)" *Water Res.* **24**:1325-1333

Elander, P. **1997** "Projekt Örserumsviken, Västerviks kommun. Vattenomsättning i deponi, sedimentationsbassäng och utfyllnadsområde" Statens Geotekniska Institut 1997-11-17 Dnr: 2-9510-465

Gustafson, K.E. och Dickhut, R.M. **1997** "Distribution of polycyclic aromatic hydrocarbons in Southern Chesapeake Bay surface water: evaluation of three methods for determining freely dissolved water concentrations" *Environ. Toxicol. Chem.* **16**:452-461

Hammar, T. **1992** "PCB i fogmassor" Länsstyrelsen i Kalmar Län informerar 1992:10

Hermanson, M.H. och Hites, R.A. **1989** "Long-term measurements of atmospheric polychlorinated biphenyls in the vicinity of superfund dumps" *Environ. Sci. Technol.* **23**:1253-1258

Karickhoff, S. **1981** "Semi-empirical estimation of sorption of hydrophobic pollutants on natural sediments and soils" *Chemosphere* **10**:833-846

Næs, K., Axelman, J., Näf, C. och Broman, D. **1997** "The role of soot carbon and other carbon matrices in the distribution of PAHs between particles, colloids and the dissolved phase in the effluent and recipient waters of an aluminium reduction plant" inskickat manuskript till *Environ. Sci. Technol.*

Naturvårdsverket **1996** "Generella riktvärden för förorenad mark" Rapport 4638.

Niimi, A.J., Lee, H.B. och Muir, D.C.G. **1996** "Environmental assessment and ecotoxicological implications of the co-elution of PCB congeners 132 and 153" *Chemosphere* **32**:627-638

Prough, R. A., Burke, M. D., och Mayer, R. T. **1978** In: *Methods in Enzymology*, ed. Fleischer, S. and Packer, L., LII, part C. New York, Academic Press pp 372-377.

Walker, M. K., Zabel, E. W., Åkerman, G., Balk, L., Wright, P. och Tillit, D. E. **1996** "Fish egg injection as an alternative exposure route for early life stage toxicity studies. Description of two unique methods." Chapter four, 41-72, In *Techniques in Aquatic Toxicology*. Ed. G. K. Ostrander, CRC Lewis Publishers, Boca Raton, Florida, USA.

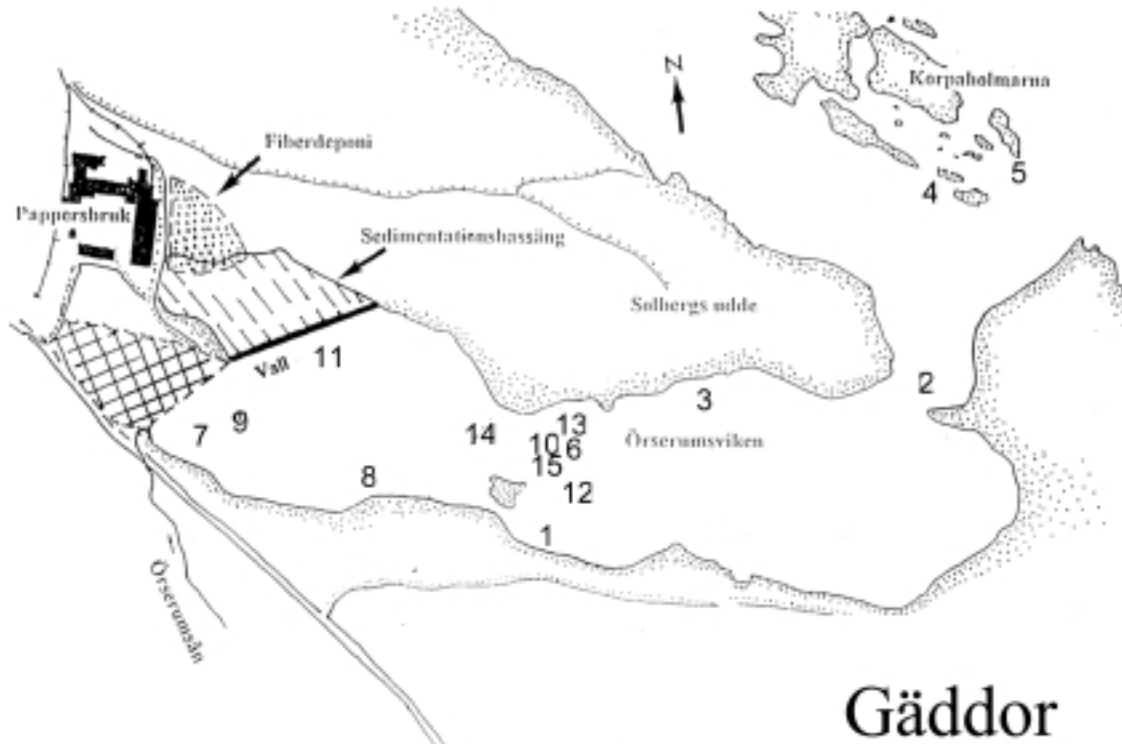
Wu, S.-C. och Gschwend, P.M. **1988** "Numerical modeling of sorption kinetics of organic compounds to soil and sediment particles" *Water Resources Res.* **24**:1373-1383

Åkerman, G. och L. Balk. **1993** "A reliable and improved methodology to expose fish in the early embryonic stage." In Seventh international symposium on responses of marine organisms to pollutants (PRIMO 7) in Göteborg, Sweden, 1993.

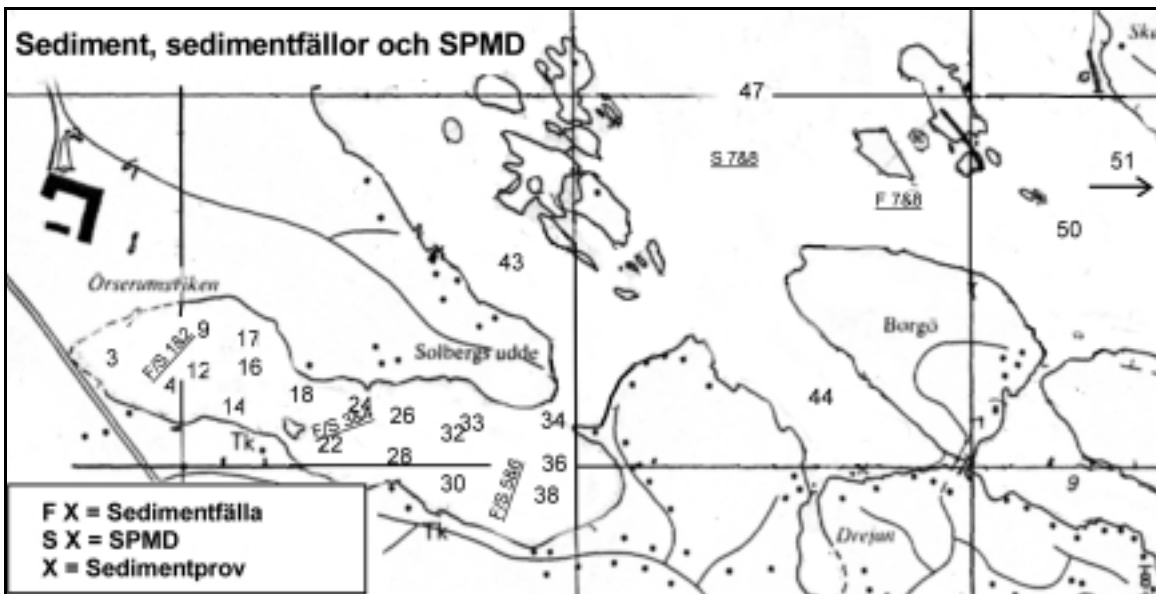
Åkerman, G. och L. Balk. **1995** "A reliable and improved methodology to expose fish in the early embryonic stage." *Marine Environmental Research* **39** (1-4 ) 155-158.

## Appendix A

*Figur A1. Fångstplatser för gäddor. Provernas numrering motsvarar dem i tabell B1.*



*Figur A2. Provtagningsplatser för sediment, sedimentfällor och SPMD. Provernas numrering motsvarar den i tabell B1.*





Provtyp	Namn	Position		Tid		Kommentar	Vol/Vikt	Längd	Kön	Kolhalt	Fetthalt	Tox
		°N 57...	°E 16...	start	stop							
Deponi	<b>Depo_5_Yt</b>	se kartor		960829			0.04 g dw			0.25		ja
Deponi	<b>Depo_6_Yt</b>	se kartor		960410			0.031 g dw			0.30		nej
Deponi	<b>Depo_6_Dj</b>	se kartor		960410			0.028 g dw			0.28		nej
Deponi	<b>Depo_4_Yt</b>	se kartor		971218		10 cm djup	0.28 g dw					nej
Deponi	<b>Depo_4_Djup</b>	se kartor		971218		80 cm djup	0.36 g dw					nej
Deponi	<b>Depo_1</b>	se kartor		960415		0-50 cm djup	0.33 g dw					nej
Grundvatten	<b>GV_104_Filter</b>	se kartor		960806			2.4 L			2.99	<sup>2)</sup>	nej
Grundvatten	<b>GV_104_PUF</b>	se kartor		960806			2.4 L					nej
Grundvatten	<b>GV_106_Filter</b>	se kartor		960820			3.8 L			12.95	<sup>2)</sup>	nej
Grundvatten	<b>GV_106_PUF</b>	se kartor		960820			3.8 L					nej
Grundvatten	<b>GV_108_Filter</b>	se kartor		960820			3.1 L			4.09	<sup>2)</sup>	nej
Grundvatten	<b>GV_108_PUF</b>	se kartor		960820			3.1 L					nej
Grundvatten	<b>GV_109_Filter</b>	se kartor		960805			3.3 L			3.12	<sup>2)</sup>	nej
Grundvatten	<b>GV_109_PUF</b>	se kartor		960805			3.3 L					nej
Grundvatten	<b>GV_111_Filter</b>	se kartor		960820			5.5 L			4.50	<sup>2)</sup>	nej
Grundvatten	<b>GV_111_PUF</b>	se kartor		960820			5.5 L					nej
Grundvatten	<b>GV_01_Filter</b>	se kartor		960829			1.9 L			3.20	<sup>2)</sup>	nej
Grundvatten	<b>GV_01_PUF</b>	se kartor		960829			1.9 L					nej
Grundvatten	<b>GV_02_Filter</b>	se kartor		960807			4.2 L			2.81	<sup>2)</sup>	nej
Grundvatten	<b>GV_02_PUF</b>	se kartor		960807			4.2 L					nej
Grundvatten	<b>GV_04_Filter1</b>	se kartor		961003		Två delprover	4.5 L					nej
Grundvatten	<b>GV_04_Filter2</b>	se kartor		961003		Två delprover	4.5 L					nej
Grundvatten	<b>GV_04_PUF</b>	se kartor		961003		Förlorat						nej
Grundvatten	<b>GV_06_Filter</b>	se kartor		960808		Förlorat				10.15	<sup>2)</sup>	nej
Grundvatten	<b>GV_06_PUF</b>	se kartor		960808			2.2 L					nej
Grundvatten	<b>GV_08_Filter</b>	se kartor		960828			5.1 L			3.76	<sup>2)</sup>	nej
Grundvatten	<b>GV_08_PUF</b>	se kartor		960828			5.1 L					nej
Grundvatten	<b>GV_10_Filter</b>	se kartor		960807			1.5 L					nej
Grundvatten	<b>GV_10_PUF</b>	se kartor		960807			1.5 L					nej
Grundvatten	<b>GV_11_Filter</b>	se kartor		960820			2.9 L			2.34	<sup>2)</sup>	nej
Grundvatten	<b>GV_11_PUF</b>	se kartor		960820			2.9 L					nej

Namn	Koncentration / flöde										
		PCB	PCB	PCB	PCB	PCB	PCB	PCB	PCB	PCB	PCB
	enhet	8,5	18,17	28,31	33,20	52	49	44	41,64	95	90,10
<b>Depo_5_Yt</b>	ng (g dw) <sup>-1</sup>	2.30E+02	1.18E+03	6.52E+03	1.25E+03	5.09E+03	4.06E+03	3.99E+03	6.18E+03	1.13E+03	1.96E-1
<b>Depo_6_Yt</b>	ng (g dw) <sup>-1</sup>	1.72E+03	4.61E+03	1.02E+04	4.13E+03	2.06E+03	1.61E+03	1.65E+03	2.38E+03	1.80E+02	2.31E-1
<b>Depo_6_Dj</b>	ng (g dw) <sup>-1</sup>	1.64E+03	3.44E+03	6.32E+03	2.55E+03	1.30E+03	9.89E+02	1.05E+03	1.37E+03	1.01E+02	1.51E+1
<b>Depo_4_yt</b>	ng (g dw) <sup>-1</sup>	7.17E+02	2.58E+02	1.16E+04	3.11E+03	3.97E+03	3.05E+03	3.02E+03	4.43E+03	4.42E+02	7.89E+1
<b>Depo_4_djup</b>	ng (g dw) <sup>-1</sup>	2.28E+03	4.09E+02	1.54E+04	4.74E+03	3.80E+03	3.18E+03	3.36E+03	5.07E+03	4.71E+02	7.87E+1
<b>Depo_1</b>	ng (g dw) <sup>-1</sup>	3.96E+03	3.74E+02	1.16E+04	4.43E+03	2.53E+03	2.20E+03	1.74E+03	3.52E+03	2.86E+02	5.13E+1
<b>GV_104_Filter</b>	ng L <sup>-1</sup>	2.97E+00	2.80E+00	3.29E+00	1.46E+00	5.17E-01	3.15E-01	4.53E-01	9.48E-01	6.94E-02	
<b>GV_104_PUF</b>	ng L <sup>-1</sup>	1.05E+00	1.70E+00	4.09E+00	1.53E+00	1.37E+00	9.94E-01	1.14E+00	1.99E+00	3.31E-01	5.85E
<b>GV_106_Filter</b>	ng L <sup>-1</sup>	1.39E+01	1.52E+01	5.31E+01	1.91E+01	1.39E+01	1.14E+01	1.21E+01	1.93E+01	2.20E+00	3.64E-1
<b>GV_106_PUF</b>	ng L <sup>-1</sup>	3.00E+01	2.05E+01	2.18E+01	9.00E+00	3.68E+00	2.19E+00	3.05E+00	4.20E+00	5.01E-01	5.85E
<b>GV_108_Filter</b>	ng L <sup>-1</sup>	7.76E+00	4.36E+00	2.32E+01	8.33E+00	5.04E+00	3.55E+00	3.69E+00	5.57E+00	1.71E+00	3.10E-1
<b>GV_108_PUF</b>	ng L <sup>-1</sup>	3.32E+00	4.09E+00	3.24E+00	1.28E+00	9.68E-01	5.38E-01	6.76E-01	1.13E+00	1.88E-01	2.43E
<b>GV_109_Filter</b>	ng L <sup>-1</sup>	1.27E-01	2.05E-01	4.04E-01	1.50E-01	3.97E-01	1.02E-01	1.52E-01	4.39E-01	2.38E-01	2.68E
<b>GV_109_PUF</b>	ng L <sup>-1</sup>									1.31E-01	2.22E
<b>GV_111_Filter</b>	ng L <sup>-1</sup>	3.96E-01	6.15E-01	1.06E+00	3.56E-01	3.97E-01	2.66E-01	2.96E-01	4.93E-01	1.63E-01	2.37E
<b>GV_111_PUF</b>	ng L <sup>-1</sup>	1.48E+00	2.18E+00	1.86E+00	7.42E-01	4.42E-01	2.50E-01	3.44E-01	7.98E-01	6.80E-02	6.39E
<b>GV_01_Filter</b>	ng L <sup>-1</sup>	3.79E+01	5.44E+01	1.52E+02	5.91E+01	4.47E+01	3.75E+01	4.00E+01	6.27E+01	5.86E+00	9.74E-1
<b>GV_01_PUF</b>	ng L <sup>-1</sup>	2.39E+01	1.89E+01	2.25E+01	9.39E+00	3.09E+00	2.07E+00	2.89E+00	3.91E+00	2.47E-01	2.84E
<b>GV_02_Filter</b>	ng L <sup>-1</sup>	8.26E-01	2.16E+00	8.00E+00	2.61E+00	2.40E+00	1.86E+00	2.09E+00	3.94E+00	4.53E-01	7.06E
<b>GV_02_PUF</b>	ng L <sup>-1</sup>	3.16E+00	3.83E+00	7.63E+00	2.73E+00	1.56E+00	9.97E-01	1.38E+00	2.59E+00	2.63E-01	3.23E
<b>GV_04_Filter1</b>	ng L <sup>-1</sup>	6.09E+01	1.11E+02	4.63E+02	1.57E+02	2.13E+02	1.79E+02	1.89E+02	2.86E+02	3.02E+01	5.16E-1
<b>GV_04_Filter2</b>	ng L <sup>-1</sup>	2.55E+01	5.04E+01	2.20E+02	7.13E+01	1.08E+02	8.77E+01	8.86E+01	1.37E+02	1.31E+01	2.26E-1
<b>GV_04_PUF</b>	ng L <sup>-1</sup>										
<b>GV_06_Filter</b>	ng L <sup>-1</sup>										
<b>GV_06_PUF</b>	ng L <sup>-1</sup>	1.81E+01	1.57E+01	1.89E+01	7.72E+00	2.74E+00	1.99E+00	2.41E+00	3.27E+00	2.43E-01	2.85E
<b>GV_08_Filter</b>	ng L <sup>-1</sup>		1.50E-01	5.38E-01	1.42E-01	2.89E-01	1.71E-01	1.94E-01	2.69E-01	9.21E-02	1.49E
<b>GV_08_PUF</b>	ng L <sup>-1</sup>		1.39E-01	2.44E-01	7.96E-02	7.92E-02	4.28E-02	5.33E-02	8.99E-02	2.66E-02	3.03E
<b>GV_10_Filter</b>	ng L <sup>-1</sup>	1.77E+02	3.77E+02	1.05E+03	3.82E+02	3.24E+02	2.74E+02	2.97E+02	4.72E+02	3.32E+01	5.71E-1
<b>GV_10_PUF</b>	ng L <sup>-1</sup>	1.21E+02	1.54E+02	2.17E+02	8.36E+01	2.99E+01	2.20E+01	2.79E+01	4.05E+01	2.31E+00	2.67E-1
<b>GV_11_Filter</b>	ng L <sup>-1</sup>		2.11E-01	6.00E-01	1.93E-01	4.28E-01	2.01E-01	2.26E-01	3.83E-01	1.81E-01	3.19E
<b>GV_11_PUF</b>	ng L <sup>-1</sup>		2.53E-01	3.56E-01	1.25E-01	1.20E-01	6.01E-02	7.17E-02	1.59E-01	3.71E-02	3.90E



Namn	PCB	PCB	PCB	PCB	PCB	PCB	PCB	PCB	PCB	PCB	PCB	PCB
	149	153,132	138	128	156	182,187	174,181	177	180	179, 190	199	
Depo_5_Yt	6.41E+02	8.50E+02	1.03E+03	1.95E+02	1.46E+02	8.96E+01	1.30E+02	1.30E+02	1.08E+03	1.69E+02	4.80E+02	
Depo_6_Yt	7.67E+01	1.32E+02	1.55E+02	6.07E+01	5.26E+01	8.17E+01	6.03E+01	3.02E+01	1.48E+02	8.25E+01	2.13E+01	
Depo_6_Dj	4.46E+01	7.65E+01	8.92E+01	3.04E+01	3.05E+01	3.89E+01	3.12E+01	1.72E+01	7.99E+01	3.73E+01	1.49E+01	
Depo_4_yt	1.60E+02	2.16E+02	3.40E+02	7.11E+01	5.60E+01	6.25E+01	1.04E+02	5.42E+01	2.69E+02	1.47E+02	4.47E+01	
Depo_4_djup	1.69E+02	2.20E+02	3.53E+02	7.34E+01	5.66E+01	6.66E+01	1.07E+02	5.66E+01	2.78E+02	1.49E+02	4.66E+01	
Depo_1	1.43E+02	1.86E+02	2.97E+02	5.96E+01	4.63E+01	5.48E+01	9.12E+01	4.93E+01	2.34E+02	1.32E+02	3.77E+01	
GV_104_Filter												
GV_104_PUF	6.21E-01	8.60E-01	1.12E-01				8.44E-01		1.20E+00	6.32E-01		
GV_106_Filter	1.32E+00	1.81E+00	2.98E-01	6.39E-02	6.03E-02	1.38E+00	8.39E-01	4.00E-01	2.26E+00	1.06E+00	9.07E-01	
GV_106_PUF	1.78E-01	1.55E-01	2.14E-02			6.96E-02	5.14E-02	3.21E-02	7.13E-02			
GV_108_Filter	1.59E+00	2.05E+00	3.63E-01	6.59E-02	4.91E-02	8.22E-01	7.09E-01	4.31E-01	1.65E+00	9.79E-01	2.26E-01	
GV_108_PUF	7.43E-02	7.79E-02	1.10E-02									
GV_109_Filter	1.10E-01	9.17E-02	1.36E-02	1.92E-03	1.22E-03	2.93E-02	2.65E-02	1.38E-02	3.62E-02	6.82E-03	3.11E-03	
GV_109_PUF	1.54E-01	2.41E-01	4.58E-03	1.28E-02	8.36E-03	7.73E-02	8.99E-02	4.81E-02	2.61E-01	1.68E-01	2.39E-01	
GV_111_Filter	2.22E-01	2.67E-01	4.62E-02	6.08E-03	5.06E-03	1.77E-01	1.64E-01	7.54E-02	3.49E-01	2.25E-01		
GV_111_PUF	2.29E-02	2.16E-02	3.36E-03									
GV_01_Filter	3.54E+00	6.20E+00	7.57E-01	1.51E-01	1.12E-01	1.65E+00	2.36E+00	1.28E+00	5.47E+00	3.32E+00	7.24E-01	
GV_01_PUF		2.50E-01	4.25E-02									
GV_02_Filter	2.15E-01	2.93E-01	6.04E-02	1.53E-02	1.04E-02	1.11E-01	1.49E-01	7.64E-02	2.50E-01			
GV_02_PUF	1.01E-01	8.05E-02	1.12E-02	1.49E-03		1.59E-02	2.22E-02	1.26E-02	3.24E-02			
GV_04_Filter1	1.43E+01	2.60E+01	3.28E+00	6.58E-01	5.48E-01	8.48E+00	7.08E+00	3.66E+00	1.91E+01	1.05E+01	3.10E+01	
GV_04_Filter2	6.22E+00	8.49E+00	1.44E+00	2.84E-01	2.37E-01	3.90E+00	3.32E+00	1.72E+00	8.28E+00	4.40E+00	1.50E+01	
GV_04_PUF												
GV_06_Filter												
GV_06_PUF	1.28E-01	1.17E-01	1.66E-02									
GV_08_Filter	1.09E-01	1.53E-01	1.66E-02									
GV_08_PUF	2.64E-02	3.61E-02	4.09E-03									
GV_10_Filter	1.12E+01	1.38E+01	2.64E+00	5.27E-01	3.85E-01	8.88E+00	7.46E+00	3.60E+00	1.64E+01	8.38E+00	3.28E+01	
GV_10_PUF	5.33E-01	4.20E-01	1.53E-01	1.50E-02		1.64E-01	1.29E-01	1.76E-01	1.76E-01	1.17E-01		
GV_11_Filter	1.95E-01	2.88E-01	4.78E-02	9.88E-03	7.88E-03	1.87E-01	1.31E-01	7.90E-02	3.41E-01	2.19E-01	7.95E-02	
GV_11_PUF	3.35E-02	4.26E-02	6.03E-03			7.63E-02	5.25E-02	3.26E-02	1.15E-01	4.03E-02	4.94E-02	

Provtyp	Namn	Position		Tid		Kommentar	Vol/Vikt	Längd	Kön	Kolhalt	Fetthalt	Tox- testad
		°N 57...	°E 16...	start	stop							
Gädda	<b>Gädda_1</b>			mitt	960515		2.22 g dw	580	hane		0.69	nej
Gädda	<b>Gädda_2</b>			yttre	961125		2.29 g dw	440	hona		0.61	nej
Gädda	<b>Gädda_3</b>			mitt	961126		2.12 g dw	400	hona		0.57	nej
Gädda	<b>Gädda_4</b>			utanför	961001		2.37 g dw	580	hona		0.42	nej
Gädda	<b>Gädda_5</b>			utanför	961126		2.72 g dw	500	hona		0.46	nej
Gädda	<b>Gädda_6</b>			mitt	961001		2.26 g dw	510	hona		0.38	nej
Gädda	<b>Gädda_7</b>			inre	960515		2.22 g dw	550	hane		0.38	nej
Gädda	<b>Gädda_8</b>			mitt	960515		2.32 g dw	510	hane		0.42	nej
Gädda	<b>Gädda_9</b>			inre	960515		2.01 g dw	530	hona		0.44	nej
Gädda	<b>Gädda_10</b>			mitt	961001		2.30 g dw	600	hona		0.44	nej
Gädda	<b>Gädda_11</b>			inre	960515		2.12 g dw	580	hona		0.43	nej
Gädda	<b>Gädda_12</b>			mitt	961025		2.26 g dw	500	hona		0.43	nej
Gädda	<b>Gädda_13</b>			mitt	961030		2.41 g dw	460	hona		0.42	nej
Gädda	<b>Gädda_14</b>			mitt	961030		2.42 g dw	570	hona		0.54	nej
Gädda	<b>Gädda_15</b>			mitt	961030		2.27 g dw	530	hona		0.56	nej
Huv	<b>Huv_Dep_1</b>	se kartor			960801	960827	0.246 m <sup>2</sup>					nej
Huv	<b>Huv_Dep_2</b>	se kartor			960801	960827	0.246 m <sup>2</sup>					nej
Huv	<b>Huv_Dep_3</b>	se kartor			960801	960827	0.246 m <sup>2</sup>					nej
Huv	<b>Huv_Ref_1</b>	se kartor			960801	960827	0.246 m <sup>2</sup>					nej
Huv	<b>Huv_Ref_2</b>	se kartor			960801	960827	0.246 m <sup>2</sup>					nej
Huv	<b>Huv_Ref_3</b>	se kartor			960801	960827	0.246 m <sup>2</sup>					nej
Jord	<b>Jord_Ref_1</b>	vid vattenverket			971110		5.29 g dw			0.28		nej
Jord	<b>Jord_Ref_2</b>	vid vattenverket			971110		5.27 g dw			0.20		nej
Luft	<b>L_Ref_1_Filter</b>	se kartor			960829	961003	851 L					nej
Luft	<b>L_Ref_2_Filter</b>	se kartor			960829	961003	1188 L					nej
Luft	<b>L_Ref_3_Filter</b>	se kartor			960829	961003	1243 L					nej
Luft	<b>L_Ref_1_PUF</b>	se kartor			960829	961003	851 L					nej
Luft	<b>L_Ref_2_PUF</b>	se kartor			960829	961003	1188 L					nej
Luft	<b>L_Ref_3_PUF</b>	se kartor			960829	961003	1243 L					nej
Luft	<b>L_Depo_1_Filter</b>	se kartor			960829	961003	1577 L					nej
Luft	<b>L_Depo_2_Filter</b>	se kartor			960829	961003	1287 L					nej

Namn	Koncentration / flöde										
		PCB	PCB	PCB	PCB	PCB	PCB	PCB	PCB	PCB	PCB
	enhet	8,5	18,17	28,31	33,20	52	49	44	41,64	95	90,10
<b>Gädda_1</b>	ng (g ww) <sup>-1</sup>	3.15E-01	1.93E+00	2.22E+01	1.34E+00	3.80E+01	3.24E+01	2.39E+01	3.26E+01	3.87E+00	1.27E -
<b>Gädda_2</b>	ng (g ww) <sup>-1</sup>		2.04E-01	1.82E+00	2.14E-01	8.24E-01	5.72E-01	5.47E-01	8.14E-01	4.30E-01	1.24E+
<b>Gädda_3</b>	ng (g ww) <sup>-1</sup>	7.71E-01	3.67E+00	3.65E+01	4.43E+00	1.11E+01	9.91E+00	8.17E+00	1.25E+01	1.81E+00	5.25E+
<b>Gädda_4</b>	ng (g ww) <sup>-1</sup>		4.04E-02	5.89E-01	3.23E-02	5.23E-01	4.48E-01	3.32E-01	5.88E-01	3.20E-01	9.66E
<b>Gädda_5</b>	ng (g ww) <sup>-1</sup>		3.40E-02	4.22E-01	2.79E-02	4.41E-01	2.89E-01	2.28E-01	3.86E-01	3.18E-01	8.84E
<b>Gädda_6</b>	ng (g ww) <sup>-1</sup>	3.86E-01	1.89E+00	1.49E+01	2.10E+00	5.13E+00	5.39E+00	3.45E+00	7.04E+00	1.08E+00	3.29E -
<b>Gädda_7</b>	ng (g ww) <sup>-1</sup>	6.64E-01	2.61E+00	4.66E+01	2.44E+00	1.49E+01	1.62E+01	1.03E+01	1.63E+01	2.02E+00	8.26E -
<b>Gädda_8</b>	ng (g ww) <sup>-1</sup>	4.25E-01	2.39E+00	3.75E+01	2.10E+00	1.31E+01	1.32E+01	9.29E+00	1.35E+01	2.15E+00	8.14E -
<b>Gädda_9</b>	ng (g ww) <sup>-1</sup>	9.89E-01	2.08E+00	2.60E+01	2.84E+00	1.10E+01	1.07E+01	7.80E+00	1.25E+01	2.05E+00	7.30E+
<b>Gädda_10</b>	ng (g ww) <sup>-1</sup>	2.65E-01	2.30E+00	3.48E+01	3.39E+00	1.07E+01	1.16E+01	6.52E+00	1.28E+01	2.05E+00	6.47E+
<b>Gädda_11</b>	ng (g ww) <sup>-1</sup>	1.13E+00	2.22E+00	1.08E+01	1.40E+00	3.54E+00	3.07E+00	2.54E+00	3.84E+00	6.98E-01	1.94E+
<b>Gädda_12</b>	ng (g ww) <sup>-1</sup>	2.08E-01	1.51E+00	2.17E+01	1.56E+00	8.12E+00	7.79E+00	5.19E+00	7.10E+00	1.50E+00	4.65E -
<b>Gädda_13</b>	ng (g ww) <sup>-1</sup>	2.39E-01	2.15E+00	4.15E+01	1.74E+00	2.31E+01	2.61E+01	1.34E+01	2.38E+01	4.10E+00	1.82E -
<b>Gädda_14</b>	ng (g ww) <sup>-1</sup>	1.13E+00	4.89E+00	5.52E+01	4.30E+00	1.98E+01	2.07E+01	1.19E+01	1.91E+01	3.51E+00	1.12E -
<b>Gädda_15</b>	ng (g ww) <sup>-1</sup>	1.91E-01	2.20E+00	2.64E+01	2.99E+00	1.09E+01	1.05E+01	7.68E+00	1.22E+01	1.94E+00	6.93E -
<b>Huv_Dep_1</b>	ng m <sup>2</sup> d <sup>-1</sup>	3.03E+02	2.07E+03	5.67E+03	1.48E+03	3.39E+03	2.44E+03	2.64E+03	3.32E+03	4.37E+02	3.94E -
<b>Huv_Dep_2</b>	ng m <sup>2</sup> d <sup>-1</sup>	2.35E+02	9.55E+02	6.05E+03	1.28E+03	4.53E+03	2.57E+03	2.77E+03	4.08E+03	8.92E+02	7.15E -
<b>Huv_Dep_3</b>	ng m <sup>2</sup> d <sup>-1</sup>	8.70E+00	9.14E+01	1.00E+03	1.83E+02	2.17E+03	9.90E+02	1.03E+03	2.09E+03	1.98E+02	2.08E -
<b>Huv_Ref_1</b>	ng m <sup>2</sup> d <sup>-1</sup>	2.17E-01	1.30E+00	3.37E+00	1.04E+00	1.50E+00		1.06E+00	1.11E-01	2.08E+00	2.08E -
<b>Huv_Ref_2</b>	ng m <sup>2</sup> d <sup>-1</sup>	2.07E-01	8.98E-01	2.96E+00	7.02E-01	9.92E-01		1.12E+00	1.62E-01	7.60E-01	6.49E
<b>Huv_Ref_3</b>	ng m <sup>2</sup> d <sup>-1</sup>	1.85E-01	7.29E-01	3.57E+00	1.28E+00	1.87E+00	9.31E+00	8.98E-01	1.02E-01	1.54E+00	1.45E -
<b>Jord_Ref_1</b>	ng (g dw) <sup>-1</sup>					1.76E-01	1.00E-01	7.37E-02	1.10E-01	5.08E-01	1.22E -
<b>Jord_Ref_2</b>	ng (g dw) <sup>-1</sup>					1.28E-01	9.49E-02	6.66E-02	1.25E-01	4.28E-01	9.39E
<b>L_Ref_1_Filter</b>	pg m <sup>-3</sup>	4)	6.36E-02	2.95E-01	1.01E-01	9.32E-02	3.97E-02	6.28E-02	1.07E-01	6.85E-02	9.43E
<b>L_Ref_2_Filter</b>	pg m <sup>-3</sup>	1.79E-02	4.50E-02	1.34E-01	7.44E-02	4.49E-02	1.67E-02	3.11E-02	4.81E-02	4.72E-02	6.62E
<b>L_Ref_3_Filter</b>	pg m <sup>-3</sup>		1.05E-01	2.54E-01	8.90E-02	7.26E-02	3.16E-02	6.24E-02	7.71E-02	5.32E-02	8.93E
<b>L_Ref_1_PUF</b>	pg m <sup>-3</sup>	9.08E+00	7.39E+00	2.82E+01	6.57E+00	4.55E+00	2.03E+00	2.01E+00	4.02E+00	3.11E+00	4.66E -
<b>L_Ref_2_PUF</b>	pg m <sup>-3</sup>	6.09E+00	6.94E+00	1.89E+01	6.33E+00	6.44E+00	2.30E+00	2.62E+00	3.73E+00	5.89E+00	8.02E -
<b>L_Ref_3_PUF</b>	pg m <sup>-3</sup>		2.09E+01	9.90E+00	2.90E+00	3.40E+00	2.16E+00	1.68E+00	2.56E+00	2.53E+00	3.37E -
<b>L_Depo_1_Filter</b>	pg m <sup>-3</sup>	4.71E-02	2.14E-01	1.44E+00	3.19E-01	4.35E-01	2.52E-01	2.99E-01	4.57E-01	8.17E-02	1.43E
<b>L_Depo_2_Filter</b>	pg m <sup>-3</sup>	9.22E-02	1.74E-01	9.78E-01	2.61E-01	2.54E-01	1.57E-01	1.83E-01	3.14E-01	7.57E-02	1.07E

Namn	PCB	PCB	PCB	PCB	PCB	PCB	PCB	PCB	PCB	PCB	PCB
	149	153,132	138	128	156	182,187	174,181	177	180	179, 190	199
Gädda_1	1.24E+01	4.78E+01	3.97E+01	5.39E+00		1.21E+01	4.09E+00	3.40E+00	2.53E+01	8.01E+00	1.20E+00
Gädda_2	1.20E+00	3.88E+00	3.97E+00	1.16E+00	2.31E-01	1.23E+00	4.50E-01	3.71E-01	2.60E+00	9.49E-01	1.67E-01
Gädda_3	2.82E+00	7.61E+00	8.93E+00	1.40E+00		3.34E+00	9.32E-01	8.87E-01	6.05E+00	2.09E+00	3.95E-01
Gädda_4	8.89E-01	2.72E+00	3.07E+00	4.48E-01	3.45E-02	9.58E-01	3.68E-01	3.02E-01	2.25E+00	8.87E-01	1.58E-01
Gädda_5	3.01E+00	3.01E+00	2.90E+00	3.65E-01		1.31E+00	3.92E-01	3.74E-01	2.30E+00	7.71E-01	1.71E-01
Gädda_6	1.84E+00	1.84E+00	5.92E+00	1.09E+00		2.07E+00	7.16E-01	6.13E-01	4.13E+00	1.47E+00	2.67E-01
Gädda_7	3.53E+00	1.44E+01	1.25E+01	2.59E+00	7.68E-01	5.86E+00	1.75E+00	1.55E+00	1.41E+01	4.93E+00	1.02E+01
Gädda_8	3.82E+00	1.40E+01	1.43E+01	2.41E+00	1.69E+00	5.17E+00	1.69E+00	1.40E+00	1.26E+01	4.81E+00	9.53E-01
Gädda_9	3.28E+00	1.09E+01	1.10E+01	1.02E+00	6.67E-01	3.60E+00	1.29E+00	1.01E+00	7.63E+00	2.70E+00	4.77E-01
Gädda_10	3.15E+00	1.15E+01	1.07E+01	1.74E+00	3.11E-01	3.40E+00	1.12E+00	1.11E+00	7.57E+00	3.04E+00	4.48E-01
Gädda_11	1.07E+00	3.42E+00	1.29E+00	5.38E-01	3.13E-01	1.29E+00	1.17E+00	4.23E-01	2.62E+00	9.42E-01	1.97E-01
Gädda_12	2.44E+00	7.49E+00	6.63E+00	1.00E+00		2.68E+00	8.59E-01	7.39E-01	4.88E+00	1.76E+00	3.19E-01
Gädda_13	6.26E+00	2.47E+01	1.81E+01	3.37E+00	4.66E-01	7.90E+00	2.75E+00	2.05E+00	1.82E+01	6.34E+00	1.24E+01
Gädda_14	4.69E+00	1.55E+01	1.57E+01	2.59E+01	1.78E+00	5.16E+00	1.73E+00	1.58E+00	1.03E+01	4.50E+00	6.84E-01
Gädda_15	3.23E+00	1.11E+01	9.82E+00	1.59E+00	6.58E-01	3.21E+00	1.15E+00	9.00E-01	6.04E+00	2.17E+00	4.25E-01
Huv_Dep_1	4.83E+01	4.40E+01	3.23E+01	1.28E+01	4.23E+00	2.01E+01	8.00E+00	3.43E+00	6.14E+00	1.57E+00	4.33E-01
Huv_Dep_2	1.14E+02	1.05E+02	8.28E+01	2.62E+01	1.06E+01	3.84E+01	2.00E+01	9.05E+00	1.61E+01	3.61E+00	1.09E+01
Huv_Dep_3	2.72E+01	2.63E+01	1.89E+01	4.00E+00	1.65E+00	5.95E+00	3.53E+00	1.75E+00	3.56E+00	1.17E+00	3.01E-01
Huv_Ref_1	1.94E+00	1.84E+00	1.66E+00	3.23E-01	1.41E-01	6.02E-01	4.37E-01	1.65E-01	3.53E-01	1.21E-01	
Huv_Ref_2	2.85E-01	2.63E-01	2.36E-01	5.85E-02		6.92E-02	7.86E-02		7.90E-02		
Huv_Ref_3	1.02E+00	9.71E-01	9.30E-01	2.19E-01		6.49E-01	3.69E-01	1.30E-01	3.29E-01	1.01E-01	
Jord_Ref_1	1.80E+00	3.04E+00	4.02E+00	5.88E-01	3.98E-01	8.10E-01	1.31E+00	6.93E-01	2.94E+00	1.35E+00	7.46E-01
Jord_Ref_2	1.37E+00	2.05E+00	2.76E+00	4.05E-01	2.62E-01	5.76E-01	9.42E-01	5.05E-01	2.02E+00	9.09E-01	5.16E-01
L_Ref_1_Filter	5.44E-02	5.87E-02	8.48E-02			1.10E-02	1.47E-02	9.49E-03	3.44E-02	1.77E-02	7.30E-02
L_Ref_2_Filter	4.86E-02	5.46E-02	8.63E-02	1.30E-02	7.17E-03	9.36E-03	1.20E-02	7.26E-03	2.66E-02	1.25E-02	
L_Ref_3_Filter	5.67E-02	5.06E-02	8.84E-02	1.28E-02		1.41E-02	2.20E-02	1.06E-02	5.03E-02	3.35E-02	
L_Ref_1_PUF	1.89E+00	1.99E+00	1.82E+00	1.31E-01	4.37E-02	1.53E-01	2.15E-01	1.06E-01	2.99E-01	1.11E-01	4.17E-01
L_Ref_2_PUF	8.73E+00	1.49E+01	1.16E+01	7.44E-01	7.02E-01	4.63E+00	7.86E+00	3.50E+00	2.16E+01	6.45E+00	5.72E+01
L_Ref_3_PUF	2.79E+00	3.31E+00	3.18E+00	2.56E-01	1.82E-01	7.65E-01	1.29E+00	7.46E-01	3.17E+00	1.05E+00	8.89E-01
L_Depo_1_Filter	5.91E-02	6.70E-02	6.82E-02						3.08E-02		
L_Depo_2_Filter	6.83E-02	7.85E-02	1.01E-01						4.94E-02		

Provtyp	Namn	Position		Tid		Kommentar	Vol/Vikt	Längd	Kön	Kolhalt	Fetthalt	Tox- testad	Hg µg g <sup>-1</sup>
		°N 57...	°E 16...	start	stop								
Luft	L_Depo_3_Filter			960829	961003		1393 L					nej	
Luft	L_Depo_1_PUF			960829	961003		851 L					nej	
Luft	L_Depo_2_PUF			960829	961003		1188 L					nej	
Luft	L_Depo_3_PUF			960829	961003		1243 L					nej	
Sedbassäng	Sedbass_10_Dj			960410			0.043 g dw			0.13		ja	0.71
Sedbassäng	Sedbass_10_Yt			960410			0.015 g dw			0.36		nej	6.3
Sedbassäng	Sedbass_9_Dj			960410			0.027 g dw			0.34		nej	15
Sedbassäng	Sedbass_1		0-1 m	960804	960806		0.28 g dw			0.31		ja	27
Sedbassäng	Sedbass_2		1-2 m	960804	960806		0.49 g dw			0.26		ja	22
Sedbassäng	Sedbass_3		2-3 m	960804	960806					0.14		nej	5.3
Sedbassäng	Sedbass_4		3-4 m	960804	960806					0.13		nej	1.9
Sedfälla	Fälla_1	43.641	40.000	980803	961104		1.04 g dw			0.23		ja	7.5
Sedfälla	Fälla_2	43.569	40.368	980803	961104		0.31 g dw			0.22		ja	4
Sedfälla	Fälla_3	43.482	40.860	980803	961104		0.31 g dw			0.19		ja	2.5
Sedfälla	Fälla_4	43.844	41.770	980803	961104		1.31 g dw			0.14		ja	0.67
Sedfälla	Fälla_5	43.872	44.970	980803	961104		1.29 g dw			0.15		ja	0.06
Sediment	Sed_7	43.653	39.965	980803			1.00 g dw			0.24		ja	8.6
Sediment	Sed_16	43.620	40.190	980803			1.00 g dw			0.20		ja	6.2
Sediment	Sed_22a	43.523	40.430	980803			0.99 g dw			0.16		ja	4.2
Sediment	Sed_36	43.493	40.950	980803			1.11 g dw			0.12		ja	2.5
Sediment	Sed_43	43.768	40.890	980803			1.38 g dw			0.11		ja	1.9
Sediment	Sed_51	43.772	42.380	980803			1.07 g dw			0.11		ja	0.8
Sediment	Sed_1	43.675	39.860	980803		inre	0.92 g dw			0.21		nej	6.6
Sediment	Sed_3	43.639	39.830	980803		inre	0.80 g dw			0.23		nej	7.2
Sediment	Sed_4	43.599	39.955	980803		inre	0.94 g dw			0.20		nej	6
Sediment	Sed_9	43.685	40.040	980803		inre	0.67 g dw			0.22		nej	8.3
Sediment	Sed_12	43.619	40.035	980803		inre	0.53 g dw			0.21		nej	5.7
Sediment	Sed_14	43.570	40.150	980803		inre	0.91 g dw			0.25		nej	5.2
Sediment	Sed_17	43.658	40.180	980803		inre	0.61 g dw			0.17		nej	13
Sediment	Sed_18	43.600	40.320	980803		mitten	0.84 g dw			0.19		nej	9.9
Sediment	Sed_24	43.580	40.470	980803		mitten	0.74 g dw			0.17		nej	6.1
Sediment	Sed_26	43.553	40.620	980803		mitten	0.23 g dw			0.19		nej	3.6
Sediment	Sed_30	43.492	40.680	980803		yttre	1.08 g dw			0.12		nej	3.8
Sediment	Sed_33	43.557	40.770	980803		yttre	1.05 g dw			0.14		nej	4.6
Sediment	Sed_34	43.552	40.930	980803		yttre	2.84 g dw			0.02		nej	0.47
Sediment	Sed_38	43.446	40.890	980803		yttre	1.33 g dw			0.11		nej	16
Sediment	Sed_44	43.593	41.610	980803		utanför	1.34 g dw			0.11		nej	8.2
Sediment	Sed_47	43.946	41.410	980803		utanför	4.91 g dw			0.12		nej	11
Sediment	Sed_50	43.780	42.380	980803		utanför	4.91 g dw			0.11		nej	14

Namn	Koncentration / flöde											
		PCB	PCB	PCB	PCB	PCB	PCB	PCB	PCB	PCB	PCB	PCB
	enhet	8,5	18,17	28,31	33, 20	52	49	44	41,64	95	90,101	PC 1
L_Depo_3_Filter	pg m <sup>-3</sup>	4.94E-01	6.22E-01	1.98E+00	3.79E-01	4.99E-01	2.93E-01	3.30E-01	5.18E-01	8.65E-02	1.53E-01	
L_Depo_1_PUF	pg m <sup>-3</sup>	1.65E+02	7.95E+02	1.53E+03	3.40E+02	2.29E+02	1.74E+02	1.29E+02	1.65E+02	1.89E+01	2.48E+01	6.9
L_Depo_2_PUF	pg m <sup>-3</sup>	1.32E+02	6.34E+02	1.32E+03	2.71E+02	1.71E+02	1.26E+02	9.20E+01	1.29E+02	1.66E+01	2.32E+01	6.7
L_Depo_3_PUF	pg m <sup>-3</sup>		3.77E+02	1.05E+03	1.74E+02	1.69E+02	1.16E+02	8.91E+01	1.30E+02	1.85E+01	2.49E+01	6.2
Sedbass_10_Dj	ng (g dw) <sup>-1</sup>		3.29E+01	1.18E+02	3.48E+01	1.33E+02	8.09E+01	8.12E+01	1.23E+02	2.32E+01	3.25E+01	1.0
Sedbass_10_Yt	ng (g dw) <sup>-1</sup>	5.97E+03	1.84E+04	4.31E+04	1.59E+04	8.68E+03	7.49E+03	7.68E+03	1.18E+04	6.48E+02	9.13E+02	3.7
Sedbass_9_Dj	ng (g dw) <sup>-1</sup>	1.19E+02	1.39E+02	1.98E+02	3.59E+02	2.46E+02	7.18E+01	7.84E+01	1.31E+02	1.28E+01	1.53E+01	2.9
Sedbass_1	ng (g dw) <sup>-1</sup>	7.84E+03	1.05E+04	2.24E+04	1.85E+04	2.92E+03	2.38E+03	2.42E+03	2.42E+03		7.08E+02	2.1
Sedbass_2	ng (g dw) <sup>-1</sup>	1.92E+03	2.36E+03	4.96E+03	1.32E+04	6.52E+02	4.37E+02	5.22E+02	5.22E+02		3.06E+02	8.1
Sedbass_3	ng (g dw) <sup>-1</sup>	6.59E+02	9.14E+02	2.09E+03	1.72E+03	2.50E+02	2.11E+02	2.10E+02	2.10E+02		8.07E+01	2.1
Sedbass_4	ng (g dw) <sup>-1</sup>	2.87E+02	5.01E+02	1.15E+03	6.56E+02	1.39E+02	1.08E+02	1.29E+02	1.29E+02		4.42E+01	1.0
Fälla_1	ng (g dw) <sup>-1</sup>	1.34E+02	2.06E+02	9.94E+02	2.76E+02	4.35E+02	4.17E+02	3.58E+02	6.34E+02	6.77E+01	1.31E+02	6.1
Fälla_2	ng (g dw) <sup>-1</sup>	3.33E+01	4.81E+01	4.79E+02	7.26E+01	1.44E+02	1.36E+02	1.03E+02	1.82E+02	2.66E+01	5.46E+01	4.7
Fälla_3	ng (g dw) <sup>-1</sup>	1.69E+01	2.31E+01	2.06E+02	3.43E+01	5.37E+01	5.23E+01	4.30E+01	7.97E+01	1.21E+01	2.44E+01	1.1
Fälla_4	ng (g dw) <sup>-1</sup>	1.22E+00	1.09E+00	8.09E+00	1.73E+00	3.61E+00	2.86E+00	2.68E+00	4.87E+00	2.91E+00	5.34E+00	2.1
Fälla_5	ng (g dw) <sup>-1</sup>	5.54E-02	3.83E-01	1.78E+00	4.28E-01	4.64E-01	3.26E-01	3.32E-01	4.88E-01	2.77E-01	4.59E-01	1.1
Sed_7	ng (g dw) <sup>-1</sup>	8.06E+02	9.29E+02	3.41E+03	1.13E+03	2.38E+03	2.40E+03	1.33E+03	2.93E+03	6.03E+02	1.05E+03	4.1
Sed_16	ng (g dw) <sup>-1</sup>	5.58E+02	7.19E+02	4.22E+03	1.00E+03	2.34E+03	2.30E+03	1.58E+03	2.72E+03	6.96E+02	1.14E+03	5.0
Sed_22a	ng (g dw) <sup>-1</sup>	2.79E+00	5.51E+00	4.70E+01	8.86E+00	2.76E+01	2.82E+01	1.97E+01	3.81E+01	9.40E+00	2.20E+01	1.4
Sed_36	ng (g dw) <sup>-1</sup>	3.44E+00	3.01E+01	2.53E+02	4.85E+01	1.05E+02	1.12E+02	8.61E+01	1.59E+02	5.40E+01	8.18E+01	4.9
Sed_43	ng (g dw) <sup>-1</sup>	6.09E+00	6.46E+00	5.43E+01	1.19E+01	2.60E+01	2.63E+01	2.13E+01	4.13E+01	3.75E+01	3.92E+01	2.1
Sed_51	ng (g dw) <sup>-1</sup>		1.10E+00	8.31E+00	1.88E+00	1.16E+01	6.35E+00	6.81E+00	1.42E+01	5.65E+01	5.02E+01	9.9
Sed_1	ng (g dw) <sup>-1</sup>	3.07E+02	2.56E+02	1.31E+03	4.70E+02	4.38E+02	3.94E+02	4.31E+02	6.88E+02	8.74E+01	1.49E+02	6.1
Sed_3	ng (g dw) <sup>-1</sup>	2.06E+03	1.56E+03	5.33E+03	2.00E+03	1.65E+03	1.47E+03	1.41E+03	2.15E+03	2.02E+02	3.57E+02	1.0
Sed_4	ng (g dw) <sup>-1</sup>	4.81E+02	6.54E+02	2.74E+03	7.96E+02	9.60E+02	8.81E+02	7.66E+02	1.27E+03	1.36E+02	2.52E+02	1.7
Sed_9	ng (g dw) <sup>-1</sup>	6.32E+02	4.69E+02	3.04E+03	1.06E+03	1.00E+03	6.41E+02	8.90E+02	1.36E+03	1.43E+02	2.51E+02	1.1
Sed_12	ng (g dw) <sup>-1</sup>	1.48E+02	9.24E+01	1.23E+03	2.85E+02	3.97E+02	3.91E+02	2.80E+02	5.21E+02	6.45E+01	1.33E+02	7.1
Sed_14	ng (g dw) <sup>-1</sup>	5.89E+00	7.84E+00	3.26E+01	8.66E+00	9.48E+01	1.16E+02	1.02E+02	1.61E+02	1.83E+01	3.35E+01	1.7
Sed_17	ng (g dw) <sup>-1</sup>	8.98E+02	1.24E+03	4.92E+03	1.32E+03	1.72E+03	1.35E+03	1.49E+03	2.34E+03	2.69E+02	4.93E+02	2.0
Sed_18	ng (g dw) <sup>-1</sup>	3.16E+02	6.06E+02	2.69E+03	7.19E+02	8.27E+02	8.33E+02	8.01E+02	1.22E+03	1.58E+02	2.78E+02	1.1
Sed_24	ng (g dw) <sup>-1</sup>	1.53E+02	1.12E+03	1.12E+03	3.08E+02	3.97E+02	3.96E+02	4.13E+02	6.61E+02	8.34E+01	1.59E+02	6.9
Sed_26	ng (g dw) <sup>-1</sup>	1.98E+01	2.02E+01	1.92E+03	3.83E+01	3.81E+01	4.08E+01	2.34E+01	4.82E+01	1.30E+01	2.82E+01	1.1
Sed_30	ng (g dw) <sup>-1</sup>	3.15E+01	5.45E+01	3.86E+02	8.31E+01	1.11E+02	1.18E+02	9.91E+01	1.74E+02	2.38E+01	4.40E+01	2.1
Sed_33	ng (g dw) <sup>-1</sup>	3.84E+01	4.74E+01	3.40E+02	4.72E+01	9.24E+01	9.21E+01	7.71E+01	1.53E+02	2.46E+01	4.32E+01	2.1
Sed_34	ng (g dw) <sup>-1</sup>	6.49E+00	7.31E+00	5.70E+01	1.25E+01	1.34E+01	1.45E+01	1.28E+01	2.35E+01	3.86E+00	6.19E+00	3.9
Sed_38	ng (g dw) <sup>-1</sup>	2.60E+01	3.15E+01	2.19E+02	5.11E+01	6.29E+01	6.98E+01	5.76E+01	9.90E+01	1.35E+01	2.60E+01	1.4
Sed_44	ng (g dw) <sup>-1</sup>	5.07E+00	4.68E+00	3.31E+01	8.03E+00	7.24E+00	6.84E+00	6.01E+00	1.09E+01	4.87E+00	9.81E+00	4.7
Sed_47	ng (g dw) <sup>-1</sup>	1.12E+00	1.05E+00	9.58E+00	1.92E+00	4.27E+00	3.01E+00	2.98E+00	5.83E+00	3.15E+00	6.03E+00	2.4
Sed_50	ng (g dw) <sup>-1</sup>	1.14E+00	1.36E+00	1.01E+01	2.33E+00	8.69E+00	5.17E+00	5.10E+00	1.04E+01	7.56E+00	1.39E+01	4.9

Namn	PCB	PCB	PCB	PCB	PCB	PCB	PCB	PCB	PCB	PCB	PCB	PCB
	149	153,132	138	128	156	182,187	174,181	177	180	179, 190	199	
L_Depo_3_Filter	8.98E-02	1.18E-01	9.58E-02									
L_Depo_1_PUF	2.73E+01	4.45E+01	3.11E+01	1.85E+00	3.01E+00	1.40E+01	2.35E+01	1.01E+01	5.58E+01	1.51E+01	1.37E+01	1.37E+01
L_Depo_2_PUF	3.63E+01	5.98E+01	4.17E+01	2.45E+00	2.64E+00	1.99E+01	3.37E+01	1.47E+01	8.14E+01	2.38E+01	2.04E+01	2.04E+01
L_Depo_3_PUF	7.59E+00	9.09E+00	6.47E+00	6.31E-01	4.67E-01	2.03E+00	3.39E+00	1.51E+00	8.12E+00	2.27E+00	2.16E+00	2.16E+00
Sedbass_10_Dj			1.28E+01									
Sedbass_10_Yt	2.35E+02	4.13E+02	5.18E+02	1.99E+02	2.13E+02	2.59E+02	2.31E+02	1.20E+02	5.76E+02	3.36E+02	9.82E+02	9.82E+02
Sedbass_9_Dj	1.22E+01	1.85E+01	2.48E+01			9.70E+00	7.12E+00	2.91E+00	1.62E+01	6.26E+00	1.37E+01	1.37E+01
Sedbass_1	2.92E+02	3.88E+02	4.73E+02	9.82E+01	7.03E+01	1.14E+02	1.02E+02	5.32E+01	2.61E+02	1.36E+02	3.43E+02	3.43E+02
Sedbass_2	1.51E+02	2.01E+02	2.33E+02	3.19E+01	2.69E+01	4.80E+01	4.86E+01	3.01E+01	1.09E+02	6.00E+01	1.17E+01	1.17E+01
Sedbass_3	2.45E+01	3.60E+01	4.34E+01	6.77E+00	6.51E+00	7.38E+00	7.03E+00	3.94E+00	1.84E+01	1.07E+01	2.56E+01	2.56E+01
Sedbass_4	1.32E+01	1.64E+01	2.20E+01	3.98E+00	3.41E+00	3.63E+00	3.25E+00	1.79E+00	8.26E+00	5.15E+00	1.54E+00	1.54E+00
Fälla_1	5.17E+01	1.06E+02	1.16E+02	2.17E+01	1.72E+01	3.56E+01	2.93E+01	1.34E+01	9.25E+01	4.87E+01	1.04E+02	1.04E+02
Fälla_2	2.12E+01	6.45E+01	7.89E+01	1.23E+01	9.32E+00	1.99E+01	1.20E+01	6.43E+00	4.77E+01	2.25E+01	3.72E+01	3.72E+01
Fälla_3	9.39E+00	2.89E+01	3.81E+01	5.82E+00	4.51E+00	9.94E+00	6.51E+00	3.58E+00	2.48E+01	1.26E+01	2.81E+01	2.81E+01
Fälla_4	5.49E+00	1.09E+01	1.33E+01	2.28E+00	1.35E+00	8.53E+00	2.77E+00	2.16E+00	8.83E+00	4.42E+00	8.15E+00	8.15E+00
Fälla_5	5.87E-01	9.87E-01	1.34E+00	3.43E-01	1.19E-01	4.75E-01	2.67E+00	2.08E+00	8.51E+00	4.26E+00	1.37E+00	1.37E+00
Sed_7	3.03E+02	4.80E+02	5.50E+02	1.01E+02	7.70E+01	4.42E+01	6.47E+01	3.23E+01	1.71E+02	8.79E+01	1.85E+02	1.85E+02
Sed_16	2.85E+02	5.40E+02	5.06E+02	9.92E+01	7.98E+01	4.64E+01	6.03E+01	2.82E+01	1.72E+02	8.20E+01	2.20E+02	2.20E+02
Sed_22a	1.06E+01	1.95E+01	1.78E+01	3.11E+00	2.06E+00	2.72E+00	3.60E+00	1.68E+00	1.04E+01	4.69E+00	1.88E+00	1.88E+00
Sed_36	4.81E+01	8.84E+01	9.22E+01	1.79E+01	1.22E+01	9.05E+00	1.10E+01	6.36E+00	3.26E+01	1.70E+01	3.50E+01	3.50E+01
Sed_43	3.15E+01	5.09E+01	5.78E+01	1.04E+01	5.52E+00	5.64E+00	6.43E+00	4.99E+00	1.81E+01	1.14E+01	2.29E+01	2.29E+01
Sed_51	7.69E+01	1.03E+02	1.18E+02	1.73E+01	1.17E+01	1.59E+01	2.37E+01	1.41E+01	5.70E+01	3.07E+01	5.57E+01	5.57E+01
Sed_1	6.36E+01	7.35E+01	1.06E+02	2.21E+01	1.48E+01	3.31E+01	4.17E+01	1.80E+01	8.15E+01	5.84E+01	9.15E+01	9.15E+01
Sed_3	1.16E+02	2.21E+02	2.90E+02	5.25E+01	4.16E+01	7.25E+01	6.82E+01	3.03E+01	2.03E+02	1.01E+02	2.22E+02	2.22E+02
Sed_4	7.56E+01	1.50E+02	1.81E+02	4.05E+01	2.62E+01	5.16E+01	4.97E+01	2.46E+01	1.40E+02	7.46E+01	1.64E+02	1.64E+02
Sed_9	7.81E+01	1.53E+02	1.83E+02	3.38E+01	2.60E+01	5.01E+01	4.79E+01	2.12E+01	1.47E+02	7.86E+01	1.74E+02	1.74E+02
Sed_12	4.54E+01	7.87E+01	1.09E+02	2.11E+01	1.62E+01							
Sed_14	7.50E+00	1.54E+01	1.88E+01	4.64E+00	3.01E+00	5.11E+00	4.76E+00	2.14E+00	1.42E+01	7.72E+00	1.89E+00	1.89E+00
Sed_17	1.11E+02	2.44E+02	2.74E+02	6.50E+01	4.67E+01							
Sed_18	9.37E+01	1.84E+02	2.13E+02	3.62E+01	2.97E+01	6.44E+01	5.63E+01	2.89E+01	1.70E+02	8.92E+01	2.01E+02	2.01E+02
Sed_24	6.93E+01	7.13E+01	1.20E+02	3.24E+01	1.61E+01	3.22E+01	3.93E+01	1.48E+01	7.37E+01	5.43E+01	1.70E+02	1.70E+02
Sed_26	1.09E+01	2.57E+01	2.07E+01	3.93E+00	3.30E+00	2.70E+00	3.31E+00	1.78E+00	9.34E+00	5.22E+00	1.44E+01	1.44E+01
Sed_30	2.10E+01	3.04E+01	3.43E+01	8.12E+00	5.47E+00	1.36E+01	1.22E+01	6.72E+00	3.19E+01	1.90E+01	3.48E+01	3.48E+01
Sed_33	2.51E+01	3.31E+01	4.50E+01	9.58E+00	5.58E+00	1.43E+01	1.50E+01	7.23E+00	3.46E+01	2.47E+01	3.73E+01	3.73E+01
Sed_34	3.63E+00	6.31E+00	8.66E+00	1.84E+00	1.24E+00	2.69E+00	1.79E+00	1.24E+00	6.31E+00	3.52E+00	6.90E+00	6.90E+00
Sed_38	1.20E+01	2.32E+01	2.62E+01	4.19E+00	3.21E+00	6.73E+00	6.97E+00	3.62E+00	2.15E+01	1.13E+01	2.29E+01	2.29E+01
Sed_44	8.31E+00	1.34E+01	1.29E+01	1.93E+00	1.21E+00	2.94E+00	1.75E+00	1.32E+00	5.67E+00	3.21E+00	7.24E+00	7.24E+00
Sed_47	6.30E+00	1.23E+01	1.52E+01	2.69E+00	1.70E+00	4.25E+00	2.75E+00	2.12E+00	8.93E+00	4.94E+00	9.66E+00	9.66E+00
Sed_50	1.14E+01	1.79E+01	2.79E+01	5.57E+00	3.91E+00	6.63E+00	5.04E+00	3.43E+00	1.50E+01	8.65E+00		

Provtyp	Namn	Position		Tid		Kommentar	Vol/Vikt	Längd	Kön	Kolhalt	Fetthalt
		°N 57...	°E 16...	start	stop						
SPMD	<b>Spmd_1</b>	43.647	40.000	980803	960827		1				
SPMD	<b>Spmd_2</b>	43.551	40.380	980803	960827		1				
SPMD	<b>Spmd_3</b>	43.456	40.755	980803	960827		1				
SPMD	<b>Spmd_4</b>	43.854	41.370	980803	960827		1				
SPMD	<b>Spmd_5</b>	54.936	44.895	980803	960827		1				
Utfyllnadsområde	<b>Utf_1</b>	se kartor		960820		Grop 110	1.67 g dw			0.33	
Utfyllnadsområde	<b>Utf_2</b>	se kartor		960820		Grop 107	2.82 g dw			0.40	
Utfyllnadsområde	<b>Utf_3</b>	se kartor		960820		Grop 105	2.95 g dw			0.06	
Utfyllnadsområde	<b>Utf_4</b>	se kartor		960820		Grop 103	3.81 g dw			0.17	
Utfyllnadsområde	<b>Utf_5</b>	se kartor		960820		Grop 101	2.54 g dw			0.25	
Vatten	<b>Filtrvatten_1</b>	se kartor		980803			1)				
Vatten	<b>Filtrvatten_2</b>	se kartor		980803			1)				
Vatten	<b>Filtrvatten_3</b>	se kartor		980803			1)				
Vatten	<b>Filtrvatten_4</b>	se kartor		980803			1)				
Vatten	<b>Filtrvatten_5</b>	se kartor		980803			1)				
Vatten	<b>Filtrvatten_6</b>	se kartor		980803			1)				
Vatten	<b>Filtrvatten_7</b>	se kartor		980803			1)				
Vatten	<b>Filtrvatten_8</b>	se kartor		980803			1)				
Vatten	<b>Filtrvatten_9</b>	se kartor		980803			1)				
Vatten	<b>Filtrvatten_10</b>	se kartor		980803			1)				
Vatten	<b>PUF_1</b>	se kartor		960830			150 L				
Vatten	<b>PUF_2</b>	se kartor		960830			150 L				
Vatten	<b>PUF_3</b>	se kartor		960830			150 L				

<sup>1)</sup> Dessa prover analyserades av IVL

<sup>3)</sup> enhet: ng L<sup>-1</sup>

<sup>2)</sup> motsvarar mg kol i den del av provet som analyserats

i. a.) icke analyserat. Tomma rutor innebä



Namn	Koncentration / flöde										
		PCB	PCB	PCB	PCB	PCB	PCB	PCB	PCB	PCB	PCB
	enhet	8,5	18,17	28,31	33,20	52	49	44	41,64	95	90
<b>Spm�_1</b>	ng	2.83E-01	5.84E-01	4.76E+00	1.36E+00	1.58E+00	1.45E+00	1.36E+00	2.47E+00	1.81E-01	3.1
<b>Spm�_2</b>	ng	1.41E-01	5.39E-01	2.98E+00	5.26E-01	9.56E-01	9.16E-01	6.53E-01	1.16E+00	1.21E-01	2.2
<b>Spm�_3</b>	ng		7.53E-02	5.10E-01	1.12E-01	2.26E-01	2.09E-01	2.03E-01	3.34E-01	4.82E-02	8.1
<b>Spm�_4</b>	ng		1.18E-01	3.52E-01	7.68E-02	1.53E-01	1.30E-01	1.11E-01	1.82E-01	3.62E-02	5.4
<b>Spm�_5</b>	ng		1.81E-01	5.11E-01	1.29E-01	3.00E-01	1.02E-01	1.00E-01	2.85E-01	1.08E-01	1.8
<b>Utf_1</b>	ng (g dw) <sup>-1</sup>	1.04E+02	1.37E+02	3.79E+02	1.52E+02	9.66E+01	7.55E+01	8.66E+01	1.29E+02	2.19E+01	3.0
<b>Utf_2</b>	ng (g dw) <sup>-1</sup>	9.91E+01	5.59E+01	1.49E+02	7.94E+01	3.96E+01	2.36E+01	3.08E+01	3.60E+01	9.40E+00	1.0
<b>Utf_3</b>	ng (g dw) <sup>-1</sup>	1.18E+01	1.12E+01	2.72E+01	1.26E+01	9.10E+00	4.69E+00	5.81E+00	8.06E+00	3.54E+00	5.0
<b>Utf_4</b>	ng (g dw) <sup>-1</sup>	4.61E+00	2.90E+00	5.78E+00	4.36E+00	2.50E+00	1.90E+00	1.85E+00	3.06E+00	9.38E-01	7.4
<b>Utf_5</b>	ng (g dw) <sup>-1</sup>	6.33E+01	7.13E+01	1.46E+02	5.62E+01	3.56E+01	2.50E+01	3.20E+01	4.34E+01	9.83E+00	9.8
<b>Filtrvatten_1</b>											
<b>Filtrvatten_2</b>											
<b>Filtrvatten_3</b>											
<b>Filtrvatten_4</b>											
<b>Filtrvatten_5</b>											
<b>Filtrvatten_6</b>											
<b>Filtrvatten_7</b>											
<b>Filtrvatten_8</b>											
<b>Filtrvatten_9</b>											
<b>Filtrvatten_10</b>											
<b>PUF_1</b>	ng L <sup>-1</sup>	7.35E-01	8.52E-01	2.52E+00	6.01E-01	1.31E+00	1.12E+00	9.98E-01	1.44E+00	1.23E-01	1.5
<b>PUF_2</b>	ng L <sup>-1</sup>	1.33E-01	2.40E-01	6.89E-01	8.69E-02	1.97E-01	1.59E-01	1.69E-01	2.28E-01	2.40E-02	3.0
<b>PUF_3</b>	ng L <sup>-1</sup>	1.42E-02	1.51E-02	3.58E-02	1.04E-02	1.44E-02	5.05E-03	1.74E-02	1.76E-02	6.57E-03	8.6

Namn	PCB	PCB	PCB	PCB	PCB	PCB	PCB	PCB	PCB	PCB	PCB
	149	153,132	138	128	156	182,187	174,181	177	180	179, 190	199
Spm�_1	6.46E-02	1.06E-01	1.34E-01	1.64E-02		2.27E-02	2.06E-02	8.95E-03	4.90E-02	1.79E-02	3.98E-02
Spm�_2	6.61E-02	1.29E-01	1.26E-01	1.92E-02	1.22E-02	2.60E-02	2.41E-02		6.72E-02	3.97E-02	7.38E-02
Spm�_3	3.83E-02	6.54E-02	5.79E-02	1.03E-02		1.33E-02	1.71E-02	1.08E-02	3.51E-02	1.57E-02	
Spm�_4	2.75E-02	4.51E-02	4.14E-02	5.79E-03		1.53E-02	1.08E-02	7.53E-03	2.37E-02	1.05E-02	
Spm�_5	1.08E-01	2.01E-01	1.79E-01	2.72E-02	2.70E-03	6.14E-02	4.38E-02	2.99E-02	1.22E-01	5.34E-02	1.70E-02
Utf_1	1.64E+01	3.18E+01	3.24E+01	1.06E+01	8.40E+00	1.09E+01	9.85E+00	5.37E+00	2.27E+01	1.21E+01	2.30E+00
Utf_2	4.35E+00	7.70E+00	9.96E+00	5.24E+00	4.38E+00	3.65E+00	2.55E+00	1.29E+00	7.25E+00	3.36E+00	2.72E+00
Utf_3	3.06E+00	6.22E+00	8.76E+00	3.74E+00	3.84E+00	1.64E+00	1.41E+00	7.22E-01	4.31E+00	2.30E+00	6.98E-01
Utf_4	6.30E-01	9.45E-01	1.23E+00	4.87E-01		4.49E-01	3.45E-01	1.85E-01	7.73E-01	3.40E-01	8.34E-01
Utf_5	5.06E+00	9.12E+00	1.08E+01	3.59E+00	3.05E+00	3.79E+00	3.79E+00	1.87E+00	8.86E+00	4.45E+00	1.96E+00
Filtrvatten_1											
Filtrvatten_2											
Filtrvatten_3											
Filtrvatten_4											
Filtrvatten_5											
Filtrvatten_6											
Filtrvatten_7											
Filtrvatten_8											
Filtrvatten_9											
Filtrvatten_10											
PUF_1	2.53E-02	3.87E-02	4.21E-02	6.51E-03	4.08E-03	6.13E-03	6.06E-03	2.86E-03	1.31E-02	7.66E-03	1.09E-02
PUF_2	7.73E-03	1.30E-02	1.76E-02	2.75E-03	1.80E-03	4.93E-03	4.65E-03	2.37E-03	1.12E-02	6.71E-03	9.25E-03
PUF_3	4.06E-03	6.27E-03	5.44E-03	1.16E-03	6.81E-04	2.01E-03	2.19E-03	1.19E-03	4.64E-03	2.84E-03	4.32E-03

Tabell B2. Rådata gällande organiskt kol i partikulär och löst form.

	Position		Datum	POC µg L <sup>-1</sup>	DOC mg L <sup>-1</sup>	
	Vid	°N 57...				°E 16...
Fälla 1	Inre vik	43.651	40.016	960803	726	3.4
Fälla 2	Inre vik	43.631	39.992	960803	330	3.1
Fälla 3	Mitten av vik	43.572	43.356	960803	342	4.3
Fälla 4	Mitten av vik	43.566	40.381	960803	302	5.2
Fälla 5	Yttre vik	43.488	40.850	960803	314	3.1
Fälla 6	Yttre vik	43.475	40.876	960803	226	5
Fälla 7	Utanför vik	43.844	41.763	960803	206	4
Fälla 8	Utanför vik	43.844	41.788	960803	252	5.6
Fälla 9	Långviken	54.888	44.962	960803	-	4.6
Fälla 10	Långviken	54.855	44.988	960803	212	4.4
Fälla 1&2	Inre vik		poolat	961101	234	4.4
Fälla 3&4	Mitten av vik		poolat	961101	526	4.6
Fälla 5&6	Yttre vik		poolat	961101	382	3.8
Fälla 7&8	Utanför vik		poolat	961101	444	3.1
Fälla 9&10	Långviken		poolat	961101	346	3.5
	Örserumsviken		ingen exakt position	960805	280	4.7
	Örserumsviken		ingen exakt position	960905	274	3.1
	Örserumsviken		ingen exakt position	961001	112	4.4
	Örserumsviken		ingen exakt position	961030	772	2.0
	Örserumsviken		ingen exakt position	961126	780	4.3
	Örserumsviken		ingen exakt position	970611	446	
	Örserumsviken		ingen exakt position	970415	278	
	Örserumsviken		ingen exakt position	970708	246	
	Långviken		ingen exakt position	960805	302	2.8
	Långviken		ingen exakt position	960905	328	- <sup>2)</sup>
	Långviken		ingen exakt position	961001	- <sup>1)</sup>	- <sup>2)</sup>
	Långviken		ingen exakt position	961030	620	2.7
	Långviken		ingen exakt position	961126	790	2
	Långviken		ingen exakt position	970707	288	
	Långviken		ingen exakt position	970611	236	
	Långviken		ingen exakt position	970515	1449	
	Långviken		ingen exakt position	970418	882	

<sup>1)</sup> Provet gick ej att analysera med elementanalysatorn

<sup>2)</sup> Provet kontaminerat

## Appendix C

**Tabell C1.** Samtliga parameter använda i beräkningen av det diffusiva flödet från området i den inre delen av viken. För detaljerad beskrivning av de använda ekvationerna se Axelman (1997).

	PCB homolog-grupp							PCB
	Di	Tri	Tetra	Penta	Hexa	Hepta	Octa	
Sediment (ng/g OC)	3099	21570	23003	8096	3169	1133	242	
Vatten (ng/g)	7.3E-04	4.0E-03	4.9E-03	6.0E-04	1.2E-04	3.6E-05	3.7E-06	
Molar volume (cm <sup>3</sup> mol <sup>-1</sup> )	226.4	247.3	268.2	289.1	310.0	330.9	351.8	
log K <sub>ow</sub>	5.07	5.50	5.85	6.46	6.87	7.24	7.55	
log K <sub>oc</sub>	4.68	5.11	5.46	6.07	6.48	6.85	7.16	
log K <sub>d</sub>	4.01	4.45	4.79	5.40	5.81	6.18	6.49	
log K <sub>doc</sub>	3.68	4.11	4.46	5.07	5.48	5.85	6.16	
Z (cm)	0.05	0.05	0.05	0.05	0.05	0.05	0.05	
porosity	0.85	0.85	0.85	0.85	0.85	0.85	0.85	
tortuosity	0.72	0.72	0.72	0.72	0.72	0.72	0.72	
sed depth (cm)	5	5	5	5	5	5	5	
fraction OC	0.21	0.21	0.21	0.21	0.21	0.21	0.21	
solids density (g cm <sup>-3</sup> )	2.5	2.5	2.5	2.5	2.5	2.5	2.5	
grain size (cm)	0.01	0.01	0.01	0.01	0.01	0.01	0.01	
[DOC]wat (g cm <sup>-3</sup> )	4.0E-06	4.0E-06	4.0E-06	4.0E-06	4.0E-06	4.0E-06	4.0E-06	
[DOC]sed (g cm <sup>-3</sup> )	4.0E-06	4.0E-06	4.0E-06	4.0E-06	4.0E-06	4.0E-06	4.0E-06	
D <sub>w</sub> (cm <sup>2</sup> s <sup>-1</sup> )	5.44E-06	5.16E-06	4.92E-06	4.71E-06	4.52E-06	4.35E-06	4.20E-06	
D' <sub>w</sub> (cm <sup>2</sup> s <sup>-1</sup> )	3.93E-06	3.73E-06	3.56E-06	3.40E-06	3.27E-06	3.14E-06	3.03E-06	
D <sub>w+c</sub> (cm <sup>2</sup> s <sup>-1</sup> )	5.51E-06	5.35E-06	5.32E-06	6.36E-06	8.73E-06	1.42E-05	2.44E-05	
D <sub>coll</sub> (cm <sup>2</sup> s <sup>-1</sup> )	3.50E-06	3.50E-06	3.50E-06	3.50E-06	3.50E-06	3.50E-06	3.50E-06	
D' <sub>coll</sub> (cm <sup>2</sup> s <sup>-1</sup> )	2.53E-06	2.53E-06	2.53E-06	2.53E-06	2.53E-06	2.53E-06	2.53E-06	
D <sub>b</sub> (cm <sup>2</sup> s <sup>-1</sup> )	1.00E-07	1.00E-07	1.00E-07	1.00E-07	1.00E-07	1.00E-07	1.00E-07	
p (g cm <sup>-3</sup> )	4.41E-01	4.41E-01	4.41E-01	4.41E-01	4.41E-01	4.41E-01	4.41E-01	
k <sub>2</sub> (s <sup>-1</sup> )	2.02E-03	1.91E-03	1.82E-03	1.75E-03	1.68E-03	1.61E-03	1.55E-03	
·D <sub>b</sub>	1.02E-07	1.05E-07	1.11E-07	1.47E-07	2.20E-07	3.81E-07	6.78E-07	
·D <sub>m</sub> (cm <sup>2</sup> s <sup>-1</sup> )	3.98E-06	3.86E-06	3.85E-06	4.60E-06	6.31E-06	1.02E-05	1.77E-05	
ee (cm <sup>-1</sup> )	1503	2439	3541	6413	8550	10044	10777	
y	111	303	662	2196	3960	5566	6562	
R <sub>sed</sub> (s cm <sup>-1</sup> )	13047	4889	2246	565	228	100	49	
Rz (s/cm)	9081	9354	9392	7861	5728	3529	2047	
Rtot (s/cm)	22128	14243	11638	8426	5956	3628	2095	
V <sub>tot</sub> m h <sup>-1</sup>	0.00	0.00	0.00	0.00	0.01	0.01	0.02	
<b>Nettoflöde (µg m<sup>-2</sup> y<sup>-1</sup>)</b>	<b>912</b>	<b>3591</b>	<b>2042</b>	<b>234</b>	<b>49.6</b>	<b>10.9</b>	<b>2.0</b>	<b>6842</b>
<b>Totalt flöde (g y<sup>-1</sup>)</b>	<b>111</b>	<b>437</b>	<b>248.4</b>	<b>28.5</b>	<b>6.04</b>	<b>1.33</b>	<b>0.24</b>	<b>832</b>

**Tabell C2.** Samtliga parameter använda i beräkningen av det diffusiva flödet från området i mitten av vike.n. För detaljerad beskrivning av de använda ekvationerna se Axelman (1997).

	PCB homolog-grupp							PCB
	Di	Tri	Tetra	Penta	Hexa	Hepta	Octa	
Sediment (ng/g OC)	681	11916	8094	2678	1375	933	156	
Vatten (ng/g)	1.3E-04	1.0E-03	7.5E-04	1.1E-04	4.3E-05	3.0E-05	3.1E-06	
Molar volume (cm <sup>3</sup> mol <sup>-1</sup> )	226.4	247.3	268.2	289.1	310.0	330.9	351.8	
log K <sub>ow</sub>	5.07	5.50	5.85	6.46	6.87	7.24	7.55	
log K <sub>oc</sub>	4.68	5.11	5.46	6.07	6.48	6.85	7.16	
log K <sub>d</sub>	3.92	4.36	4.70	5.32	5.72	6.09	6.40	
log K <sub>d,oc</sub>	3.68	4.11	4.46	5.07	5.48	5.85	6.16	
Z (cm)	0.05	0.05	0.05	0.05	0.05	0.05	0.05	
porosity	0.85	0.85	0.85	0.85	0.85	0.85	0.85	
tortuosity	0.7225	0.7225	0.7225	0.7225	0.7225	0.7225	0.7225	
sed depth (cm)	5	5	5	5	5	5	5	
fraction OC	0.18	0.18	0.18	0.18	0.18	0.18	0.18	
solids density (g cm <sup>-3</sup> )	2.5	2.5	2.5	2.5	2.5	2.5	2.5	
grain size (cm)	0.01	0.01	0.01	0.01	0.01	0.01	0.01	
[DOC]wat (g cm <sup>-3</sup> )	4.0E-06	4.0E-06	4.0E-06	4.0E-06	4.0E-06	4.0E-06	4.0E-06	
[DOC]sed (g cm <sup>-3</sup> )	4.0E-06	4.0E-06	4.0E-06	4.0E-06	4.0E-06	4.0E-06	4.0E-06	
D <sub>w</sub> (cm <sup>2</sup> s <sup>-1</sup> )	5.44E-06	5.16E-06	4.92E-06	4.71E-06	4.52E-06	4.35E-06	4.20E-06	
D' <sub>w</sub> (cm <sup>2</sup> s <sup>-1</sup> )	3.93E-06	3.73E-06	3.56E-06	3.40E-06	3.27E-06	3.14E-06	3.03E-06	
D <sub>w+c</sub> (cm <sup>2</sup> s <sup>-1</sup> )	5.51E-06	5.35E-06	5.32E-06	6.36E-06	8.73E-06	1.42E-05	2.44E-05	
D <sub>coll</sub> (cm <sup>2</sup> s <sup>-1</sup> )	3.50E-06	3.50E-06	3.50E-06	3.50E-06	3.50E-06	3.50E-06	3.50E-06	
D' <sub>coll</sub> (cm <sup>2</sup> s <sup>-1</sup> )	2.53E-06	2.53E-06	2.53E-06	2.53E-06	2.53E-06	2.53E-06	2.53E-06	
D <sub>b</sub> (cm <sup>2</sup> s <sup>-1</sup> )	1.00E-06	1.00E-06	1.00E-06	1.00E-06	1.00E-06	1.00E-06	1.00E-06	
p (g cm <sup>-3</sup> )	4.41E-01	4.41E-01	4.41E-01	4.41E-01	4.41E-01	4.41E-01	4.41E-01	
k <sub>2</sub> (s <sup>-1</sup> )	2.02E-03	1.91E-03	1.82E-03	1.75E-03	1.68E-03	1.61E-03	1.55E-03	
·D <sub>b</sub>	1.02E-06	1.05E-06	1.11E-06	1.47E-06	2.20E-06	3.81E-06	6.78E-06	
·D <sub>m</sub> (cm <sup>2</sup> s <sup>-1</sup> )	3.98E-06	3.86E-06	3.85E-06	4.60E-06	6.31E-06	1.02E-05	1.77E-05	
ee (cm <sup>-1</sup> )	1223	1979	2857	5125	6768	7894	8438	
y	662	1695	3407	9480	15124	19531	21958	
R <sub>sed</sub> (s cm <sup>-1</sup> )	1778	706	348	102	46	21	11	
R <sub>z</sub> (s cm <sup>-1</sup> )	9081	9354	9392	7861	5728	3529	2047	
R <sub>tot</sub> (s cm <sup>-1</sup> )	10859	10060	9740	7963	5774	3550	2057	
v <sub>tot</sub> m h <sup>-1</sup>	0.00	0.00	0.00	0.00	0.01	0.01	0.02	
<b>Nettoflöde (µg m<sup>-2</sup> y<sup>-1</sup>)</b>	<b>409</b>	<b>2845</b>	<b>890</b>	<b>86</b>	<b>22.6</b>	<b>9.2</b>	<b>1.2</b>	<b>4262</b>
<b>Totalt flöde (g y<sup>-1</sup>)</b>	<b>50</b>	<b>346</b>	<b>108.2</b>	<b>10.4</b>	<b>2.75</b>	<b>1.12</b>	<b>0.14</b>	<b>519</b>

**Tabell C3.** Samtliga parameter använda i beräkningen av det diffusiva flödet från området i den yttre delen viken. För detaljerad beskrivning av de använda ekvationerna se Axelman (1997).

	PCB homolog-grupp							PCB
	Di	Tri	Tetra	Penta	Hexa	Hepta	Octa	
Sediment (ng/g OC)	236	3493	3482	1656	1147	676	134	
Vatten (ng/g)	1.3E-04	1.0E-03	7.5E-04	1.1E-04	4.3E-05	3.0E-05	3.1E-06	
Molar volume (cm <sup>3</sup> mol <sup>-1</sup> )	226.4	247.3	268.2	289.1	310.0	330.9	351.8	
log K <sub>ow</sub>	5.07	5.50	5.85	6.46	6.87	7.24	7.55	
log K <sub>oc</sub>	4.68	5.11	5.46	6.07	6.48	6.85	7.16	
log K <sub>d</sub>	3.68	4.12	4.46	5.08	5.48	5.85	6.16	
log K <sub>doc</sub>	3.68	4.11	4.46	5.07	5.48	5.85	6.16	
Z (cm)	0.05	0.05	0.05	0.05	0.05	0.05	0.05	
porosity	0.85	0.85	0.85	0.85	0.85	0.85	0.85	
tortuosity	0.7225	0.7225	0.7225	0.7225	0.7225	0.7225	0.7225	
sed depth (cm)	5	5	5	5	5	5	5	
fraction OC	0.10	0.10	0.10	0.10	0.10	0.10	0.10	
solids density (g cm <sup>-3</sup> )	2.5	2.5	2.5	2.5	2.5	2.5	2.5	
grain size (cm)	0.01	0.01	0.01	0.01	0.01	0.01	0.01	
[DOC]wat (g cm <sup>-3</sup> )	4.0E-06	4.0E-06	4.0E-06	4.0E-06	4.0E-06	4.0E-06	4.0E-06	
[DOC]sed (g cm <sup>-3</sup> )	4.0E-06	4.0E-06	4.0E-06	4.0E-06	4.0E-06	4.0E-06	4.0E-06	
D <sub>w</sub> (cm <sup>2</sup> s <sup>-1</sup> )	5.44E-06	5.16E-06	4.92E-06	4.71E-06	4.52E-06	4.35E-06	4.20E-06	
D' <sub>w</sub> (cm <sup>2</sup> s <sup>-1</sup> )	3.93E-06	3.73E-06	3.56E-06	3.40E-06	3.27E-06	3.14E-06	3.03E-06	
D <sub>w+c</sub> (cm <sup>2</sup> s <sup>-1</sup> )	5.51E-06	5.35E-06	5.32E-06	6.36E-06	8.73E-06	1.42E-05	2.44E-05	
D <sub>coll</sub> (cm <sup>2</sup> s <sup>-1</sup> )	3.50E-06	3.50E-06	3.50E-06	3.50E-06	3.50E-06	3.50E-06	3.50E-06	
D' <sub>coll</sub> (cm <sup>2</sup> s <sup>-1</sup> )	2.53E-06	2.53E-06	2.53E-06	2.53E-06	2.53E-06	2.53E-06	2.53E-06	
D <sub>b</sub> (cm <sup>2</sup> s <sup>-1</sup> )	1.00E-06	1.00E-06	1.00E-06	1.00E-06	1.00E-06	1.00E-06	1.00E-06	
p (g cm <sup>-3</sup> )	4.41E-01	4.41E-01	4.41E-01	4.41E-01	4.41E-01	4.41E-01	4.41E-01	
k <sub>2</sub> (s <sup>-1</sup> )	2.02E-03	1.91E-03	1.82E-03	1.75E-03	1.68E-03	1.61E-03	1.55E-03	
·D <sub>b</sub>	1.02E-06	1.05E-06	1.11E-06	1.47E-06	2.20E-06	3.81E-06	6.78E-06	
·D <sub>m</sub> (cm <sup>2</sup> s <sup>-1</sup> )	3.98E-06	3.86E-06	3.85E-06	4.60E-06	6.31E-06	1.02E-05	1.77E-05	
ee (cm <sup>-1</sup> )	928	1501	2167	3887	5134	5988	6400	
y	392	1018	2081	5990	9755	12763	14450	
R <sub>sed</sub> (s cm <sup>-1</sup> )	3006	1176	570	162	71	33	17	
R <sub>z</sub> (s cm <sup>-1</sup> )	9081	9354	9392	7861	5728	3529	2047	
R <sub>tot</sub> (s cm <sup>-1</sup> )	12087	10530	9961	8022	5799	3561	2063	
v <sub>tot</sub> m h <sup>-1</sup>	0.00	0.00	0.00	0.00	0.01	0.01	0.02	
<b>Nettflöde (µg m<sup>-2</sup> y<sup>-1</sup>)</b>	<b>125</b>	<b>775</b>	<b>361</b>	<b>51</b>	<b>18.4</b>	<b>5.9</b>	<b>0.9</b>	<b>1336</b>
<b>Totalt flöde (g y<sup>-1</sup>)</b>	<b>15</b>	<b>94</b>	<b>43.9</b>	<b>6.2</b>	<b>2.24</b>	<b>0.72</b>	<b>0.12</b>	<b>163</b>

**Tabell C4.** Samtliga parameter använda i beräkningen av det diffusiva flödet av Hg från viken. För detaljerad beskrivning av de använda ekvationerna se Axelman (1997).

<b>Kvicksilver</b>				
	Inre	Mitten	Yttre	Summa vik
Sediment (ng/g OC)	44512	44512	44512	
Vatten (ng/g)	1.1E-03	1.1E-03	1.1E-03	
log $K_{ow}$	-	-	-	
log $K_{oc}$	5.29	5.29	5.29	
log $K_d$	4.62	4.53	4.29	
log $K_{doc}$	4.47	4.47	4.47	
Z (cm)	0.05	0.05	0.05	
porosity	0.85	0.85	0.85	
tortuosity	0.72	0.72	0.72	
sed depth (cm)	5	5	5	
fraction OC	0.21	0.18	0.10	
solids density (g cm <sup>-3</sup> )	2.5	2.5	2.5	
grain size (cm)	0.01	0.01	0.01	
[DOC]wat (g cm <sup>-3</sup> )	4.0E-06	4.0E-06	4.0E-06	
[DOC]sed (g cm <sup>-3</sup> )	4.0E-06	4.0E-06	4.0E-06	
$D_w$ (cm <sup>2</sup> s <sup>-1</sup> )	2.90E-05	2.90E-05	2.90E-05	
$D'_w$ (cm <sup>2</sup> s <sup>-1</sup> )	2.10E-05	2.10E-05	2.10E-05	
$D_{w+c}$ (cm <sup>2</sup> s <sup>-1</sup> )	2.94E-05	2.94E-05	2.94E-05	
$D_{coll}$ (cm <sup>2</sup> s <sup>-1</sup> )	3.50E-06	3.50E-06	3.50E-06	
$D'_{coll}$ (cm <sup>2</sup> s <sup>-1</sup> )	2.53E-06	2.53E-06	2.53E-06	
$D_b$ (cm <sup>2</sup> s <sup>-1</sup> )	1.00E-07	1.00E-07	1.00E-07	
p (g cm <sup>-3</sup> )	4.41E-01	4.41E-01	4.41E-01	
$k_2$ (s <sup>-1</sup> )	1.07E-02	1.07E-02	1.07E-02	
$\gamma_{D_b}$	1.12E-07	1.12E-07	1.12E-07	
$\gamma_{D_m}$ (cm <sup>2</sup> s <sup>-1</sup> )	2.12E-05	2.12E-05	2.12E-05	
ee (cm <sup>-1</sup> )	3064	2773	2113	
y	87	71	41	
$R_{sed}$ (s cm <sup>-1</sup> )	3166	3863	6637	
Rz (s/cm)	1700	1700	1700	
Rtot (s/cm)	4866	5563	8337	
$v_{tot}$ m h <sup>-1</sup>	0.01	0.01	0.00	
<b>Nettflöde (µg m<sup>-2</sup> y<sup>-1</sup>)</b>	<b>14723</b>	<b>12879</b>	<b>8594</b>	
<b>Totalt flöde (g y<sup>-1</sup>)</b>	<b>1791</b>	<b>1567</b>	<b>1046</b>	<b>4404</b>

**Tabell C5.** Samtliga parameter använda i beräkningen av det diffusiva flödet av Hg från viken. För detaljerad beskrivning av de använda ekvationerna se Axelman (1997). Flödet är reducerat för att Hg i vattenpelaren endast till 10-50% förekommer i atomär form ( $Hg^0$ ), vilken är den form som kan volatiliserar.

<b>Hg-volatilisering i viken</b>		
$K'_H$	-	0.190
$k_{OL}$	$m\ h^{-1}$	0.060
$C_w$	$ng\ m^{-3}$	1104
Area	$m^2$	365000
Årsflux upp	$g\ y^{-1}$	210.8
$C_a$	$ng\ m^{-3}$	1.50
Årsflux ned	$g\ y^{-1}$	1.5
Årsflux netto	$g\ y^{-1}$	209
<b>Korrigerat 30% i fri form</b>	<b><math>g\ y^{-1}</math></b>	<b>63</b>